

スイッチング電源用フェライト E コア

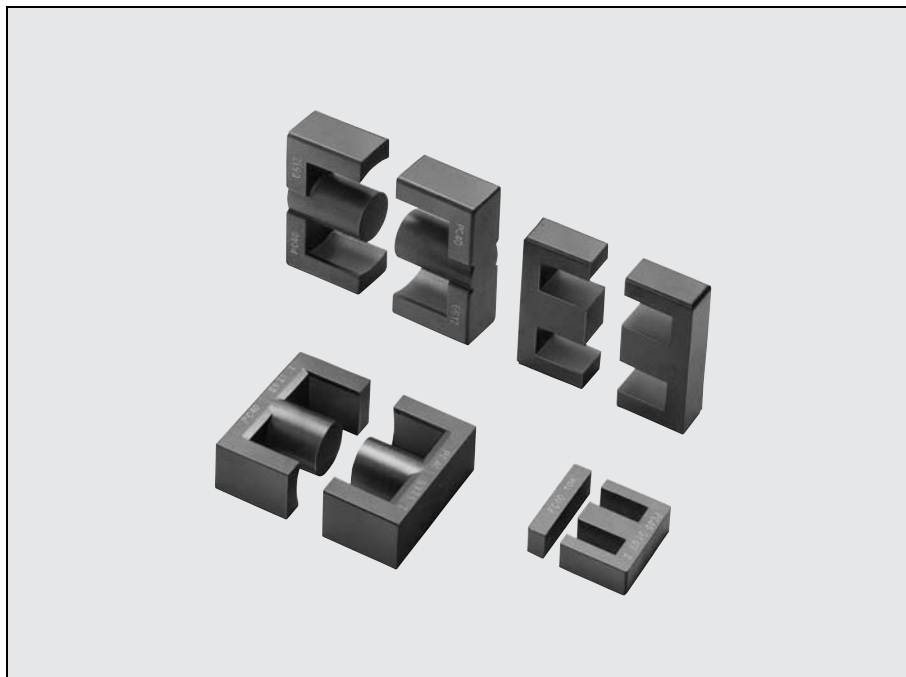
EI/EE/EF/EER/ETD シリーズ

Issue date: April 2011

- 製品をより正しく、安全にご使用いただくために、さらに詳細な特性・仕様をご確認いただける納入仕様書をぜひご請求ください。
- 記載内容は、改良その他により予告なく変更する場合がありますので、あらかじめご了承ください。
- RoHS指令対応：EU Directive 2002/95/ECにもとづき、免除された用途を除いて、鉛、カドミウム、水銀、六価クロム、および特定臭素系難燃剤のPBB、PBDEを使用していないことを表します。

スイッチング電源用フェライト Eシリーズ

- EI12.5 ~ EI60
- EE8 ~ EE60
- EF12.6 ~ EF32
- EER25.5 ~ EER49
- ETD19 ~ ETD49

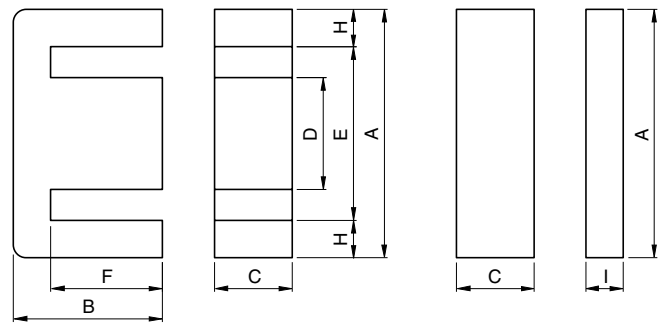
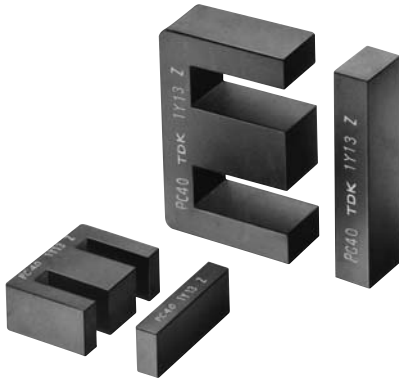


品名表示法

PC47 EI 30 - A200

材質名 _____
 コア形状 _____ AL-value (Z: ギャップなし)

EIコア

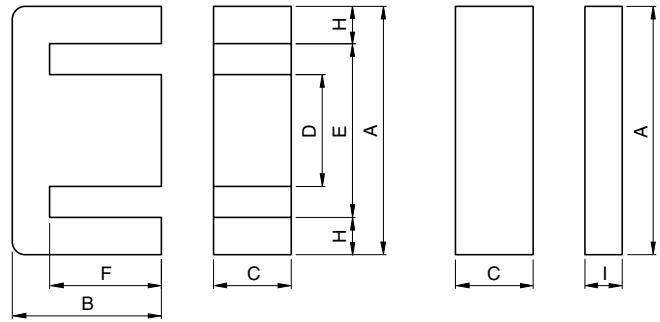
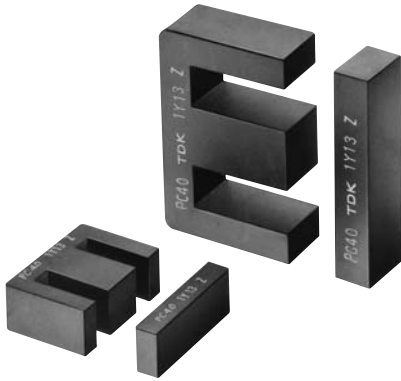


品名	JIS	寸法(mm)							
		A	B	C	D	E min.	F	H	I
PC47EI12.5-Z	JIS FEI 12.5	12.4±0.3	7.4±0.1	4.85±0.15	2.4±0.1	8.8	5.1±0.1	1.6	1.5±0.1
PC47EI16-Z	JIS FEI 16	16.0±0.3	12.2±0.2	4.8±0.2	4.0±0.2	11.6	10.2±0.2	2.05	2.0±0.2
PC47EI19-Z		20.0±0.3	13.55±0.25	5.0±0.2	4.55±0.15	14.3	11.15±0.15	2.75	2.3±0.1
PC47EI22-Z		22.0±0.3	14.55±0.25	5.75±0.25	5.75±0.25	13.0	10.55±0.25	4.5	4.5±0.2
PC47EI22/19/6-Z	JIS FEI 22	22.0±0.4	14.7±0.2	5.75±0.25	5.75±0.25	15.75	10.7±0.2	3.0	4.0±0.2
PC47EI25-Z		25.3±0.5	15.55±0.25	6.75±0.25	6.5±0.3	19.0	12.35±0.25	3.0	2.7±0.2
PC47EI28-Z	JIS FEI 28	28.0 ^{+0.7} _{-0.5}	16.75±0.25	10.6±0.2(Eコア) 10.7±0.3(Iコア)	7.2±0.3	18.4	12.25±0.25	4.5	3.5±0.3
PC47EI30-Z	JIS FEI 30	30.0 ^{+0.7} _{-0.4}	21.25±0.25	10.7±0.3	10.7±0.3	19.7	16.25±0.25	5.0	5.5±0.2
PC47EI33/29/13-Z		33.0 ^{+0.8} _{-0.5}	23.75±0.25	12.7±0.3	9.7±0.3	23.4	19.25±0.25	4.45	5.0±0.3
PC47EI35-Z	JIS FEI 35	35.0±0.5	24.35±0.15	10.0±0.3	10.0±0.3	24.5	18.25±0.15	5.0	4.6±0.3

品名	パラメータ				電気的特性		コアロス (W) max. 100kHz, 200mT, 100°C	質量 (g)
	コア定数 C _i (mm ⁻¹)	実効 断面積 A _e (mm ²)	実効 磁路長 ℓ _e (mm)	実効体積 V _e (mm ³)	AL-value (nH/N ²)*			
					ギャップなし	ギャップ付		
PC47EI12.5-Z	1.48	14.4	21.3	308	1200±25%	63±7% 100±10%	0.1	1.9
PC47EI16-Z	1.75	19.8	34.6	685	1100±25%	80±7% 160±10%	0.3	3.3
PC47EI19-Z	1.65	24.0	39.6	950	1400±25%	80±7% 160±10%	0.4	5.1
PC47EI22-Z	0.936	42.0	39.3	1650	2400±25%	125±7% 250±10%	0.6	9.8
PC47EI22/19/6-Z	1.13	37.0	41.8	1550	2000±25%	125±7% 250±10%	0.6	8.5
PC47EI25-Z	1.15	41.0	47.0	1930	2140±25%	125±7% 250±10%	0.8	9.8
PC47EI28-Z	0.56	86.0	48.2	4150	4300±25%	200±5% 400±7%	1.6	22
PC47EI30-Z	0.522	111	58.0	6440	4690±25%	200±5% 400±7%	2.2	34
PC47EI33/29/13-Z	0.567	119	67.5	8030	4400±25%	200±5% 400±7%	2.7	41
PC47EI35-Z	0.664	101	67.1	6780	3800±25%	200±5% 400±7%	2.3	36

* AL-value: 1kHz, 0.5mA, 100Ts

EIコア

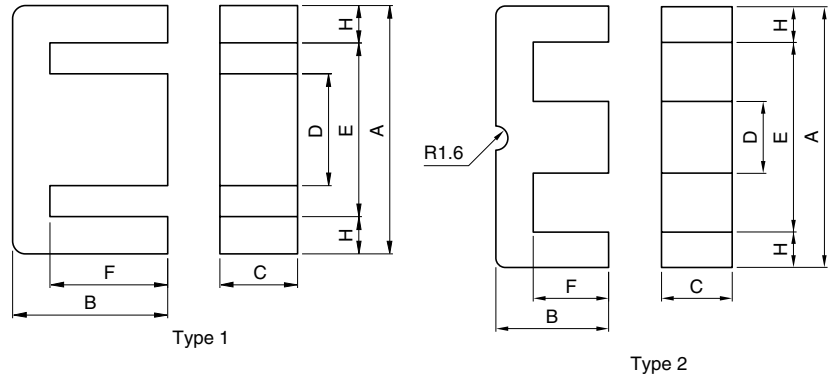
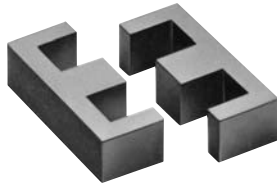
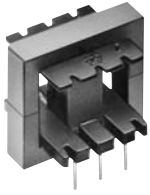


品名	JIS	寸法(mm)							
		A	B	C	D	E min.	F	H	I
PC47EI40-Z	JIS FEI 40	40.0±0.5	27.25±0.25	11.65±0.35	11.65±0.35	27.2	20.25±0.25	6.2	7.5±0.3
PC47EI50-Z	JIS FEI 50	50.0 ^{+1.2} _{-0.7}	33.35±0.35	14.6±0.4	14.6±0.4	33.5	24.75±0.25	7.7	9.0±0.3
PC47EI60-Z	JIS FEI 60	60.0 ^{+1.4} _{-0.8}	35.85±0.35	15.6±0.4	15.6±0.4	43.6	27.85±0.35	7.7	8.5±0.3

品名	パラメータ				電気的特性		コアロス (W) max. 100kHz, 200mT, 100°C	質量 (g)
	コア定数 C _i (mm ⁻¹)	実効 断面積 A _e (mm ²)	実効 磁路長 ℓ _e (mm)	実効体積 V _e (mm ³)	AL-value (nH/N ²)*			
					ギャップなし	ギャップ付		
PC47EI40-Z	0.520	148	77.0	11400	4860±25%	200±5% 400±7%	3.7	60
PC47EI50-Z	0.409	230	94.0	21620	6110±25%	250±5% 500±7%	8.6	115
PC47EI60-Z	0.441	247	109	26900	5670±25%	250±5% 500±7%	9.2	139

* AL-value: 1kHz, 0.5mA, 100Ts

EE、EFコア



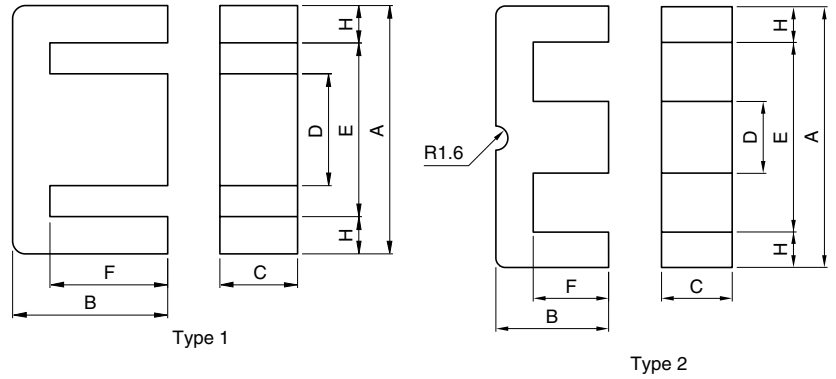
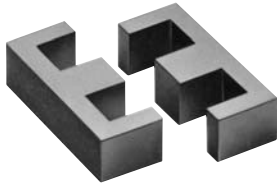
品名	U.S. lam. cores, DIN standard JIS	Type	寸法 (mm)						
			A	B	C	D	E min.	F	H
PC47EE8-Z	JIS FEE 8.3	1	8.3±0.2	4.0±0.1	3.6±0.2	1.85±0.15	6.0	3.0±0.1	1.0
PC47EE10/11-Z	JIS FEE 10.2	1	10.2±0.2	5.5±0.1	4.75±0.15	2.45±0.15	7.7	4.20±0.15	1.1
PC47EF12.6-Z	DIN 41985	1	12.7±0.4	6.4±0.1	3.6±0.2	3.65±0.15	8.8	4.65±0.15	1.83
PC47EE13-Z		1	13.0±0.2	6.00±0.15	6.15±0.15	2.75±0.15	10.0	4.6±0.1	1.4
PC47EE16-Z	JIS FEE 16A	1	16.0±0.3	7.15±0.15	4.8±0.2	4.0±0.2	11.7	5.1±0.2	2.0
PC47SEE16-Z		1	16.0±0.3	7.15±0.15	6.8±0.2	3.18±0.18	12.5	5.5±0.1	1.6
PC47EF16-Z	DIN 41985	1	16.1±0.6	8.05±0.15	4.5±0.2	4.55±0.15	11.3	5.9±0.2	2.2
PC47EE19-Z	JIS FEE 19A	1	19.1±0.3	7.95±0.15	5.0±0.2	4.55±0.15	14.2	5.6±0.1	2.3
PC47EE19/16-Z	U.S. EE-187	1	19.29±0.32	8.1±0.18	4.75±0.13	4.75±0.08	14.05	5.715±0.125	2.46
PC47EE20/20/5-Z	DIN 41295	2	20.15±0.55	10.0±0.2	5.1±0.2	5.0±0.2	12.8	6.5±0.2	3.53

品名	パラメータ				電気的特性		コアロス (W) max. 100kHz, 200mT, 100°C	質量 (g)
	コア定数 $C_i(\text{mm}^{-1})$	実効 断面積 $A_e(\text{mm}^2)$	実効 磁路長 $\ell_e(\text{mm})$	実効体積 $V_e(\text{mm}^3)$	AL-value (nH/N ²)*			
					ギャップなし	ギャップ付		
PC47EE8-Z	2.75	7.0	19.2	134	610±25%	40±7% 63±10%	0.05	0.7
PC47EE10/11-Z	2.16	12.1	26.1	315	850±25%	40±7% 63±10%	0.12	1.5
PC47EF12.6-Z	2.28	13.0	29.6	385	810±25%	63±7% 100±10%	0.16	2.0
PC47EE13-Z	1.77	17.1	30.2	517	1130±25%	63±7% 100±10%	0.22	2.7
PC47EE16-Z	1.82	19.0	34.5	656	1140±25%	80±7% 160±10%	0.28	3.3
PC47SEE16-Z	1.69	21.7	36.6	795	1240±25%	80±7% 160±10%	0.34	4.1
PC47EF16-Z	1.87	20.1	37.6	754	1100±25%	63±7% 100±10%	0.31	3.9
PC47EE19-Z	1.71	23.0	39.4	906	1250±25%	80±7% 160±10%	0.39	4.8
PC47EE19/16-Z	1.75	22.4	39.1	876	1350±25%	80±7% 160±10%	0.38	4.8
PC47EE20/20/5-Z	1.38	31.0	43.0	1340	1400±25%	100±7% 160±10%	0.47	7.5

* AL-value: 1kHz, 0.5mA, 100Ts

⚠ 製品をより正しく、安全にご使用いただくために、さらに詳細な特性・仕様をご確認いただける納入仕様書をぜひご請求ください。
記載内容は、改良その他により予告なく変更する場合がありますので、あらかじめご了承ください。

EE、EFコア

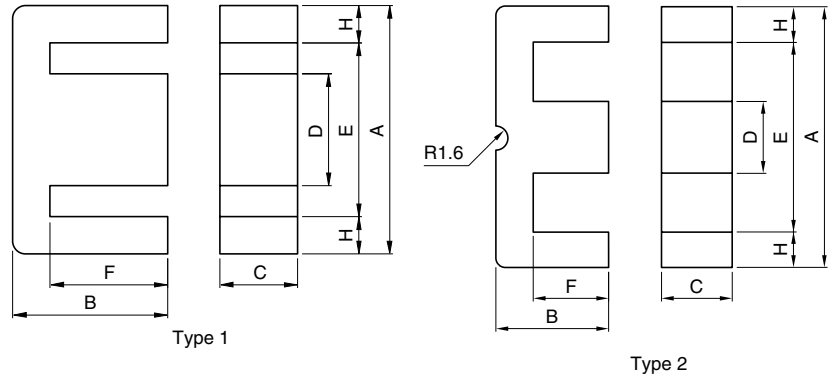
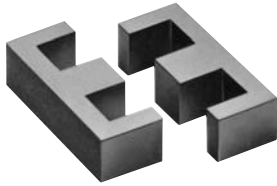
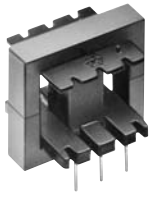


品名	U.S. lam. cores, DIN standard JIS	Type	寸法 (mm)						
			A	B	C	D	E min.	F	H
PC47EF20-Z	DIN 41985	1	20.0±0.4	9.9±0.2	5.65±0.25	5.7±0.2	14.1	7.2±0.2	2.8
PC47EE22-Z		1	22.0±0.3	9.35±0.15	5.75±0.25	5.75±0.25	13.0	5.35±0.15	4.3
PC47EE25/19-Z	U.S. EE-24/25	1	25.4±0.5	9.46±0.19	6.29±0.19	6.35±0.25	18.55	6.41±0.19	3.11
PC47EF25-Z	DIN 41985	1	25.05±0.75	12.55±0.25	7.2±0.3	7.25±0.25	17.5	8.95±0.25	3.55
PC47EE25.4-Z	JIS FEE 25.4A	1	25.4±0.76	9.66±0.15	6.35±0.25	6.35±0.25	18.5	6.48±0.15	3.18
PC47EE30-Z	JIS FEE 30A	1	30.0±0.5	13.15±0.15	10.7±0.3	10.7±0.3	19.7	8.15±0.15	5.0
PC47EE30/30/7-Z	DIN 41295	2	30.1±0.7	15.0±0.2	7.05±0.25	6.95±0.25	19.5	9.95±0.25	5.1
PC47EF32-Z	DIN 41985	1	32.1±0.8	16.1±0.3	9.15±0.35	9.2±0.3	22.7	11.6±0.3	4.4
PC47EE35/28B-Z	U.S. EE-375	1	34.6±0.5	14.27±0.37	9.31±0.30	9.4±0.3	25.0	9.78±0.25	4.5
PC47EE35-Z	JIS FEE35B	1	34.54±1.0	14.35±0.35	9.53±0.38	9.39±0.27	24.89	9.71±0.28	4.75

品名	パラメータ				電気的特性		コアロス (W) max. 100kHz, 200mT, 100°C	質量 (g)
	コア定数 C _i (mm ⁻¹)	実効 断面 積 A _e (mm ²)	実効 磁路長 ℓ _e (mm)	実効体積 V _e (mm ³)	AL-value (nH/N ²)*			
					ギャップなし	ギャップ付		
PC47EF20-Z	1.34	33.5	44.9	1500	1570±25%	100±7% 160±10%	0.59	7.4
PC47EE22-Z	0.970	41.0	39.6	1620	2180±25%	125±7% 250±10%	0.56	8.8
PC47EE25/19-Z	1.22	40.0	48.7	1950	2000±25%	100±7% 200±10%	0.80	9.1
PC47EF25-Z	1.11	51.8	57.8	2990	2000±25%	100±7% 160±10%	1.27	15
PC47EE25.4-Z	1.21	40.3	48.7	1963	2000±25%	125±7% 250±10%	0.84	10
PC47EE30-Z	0.529	109.0	57.7	6290	4690±25%	200±5% 400±7%	2.03	32
PC47EE30/30/7-Z	1.12	59.7	66.9	4000	2100±25%	160±5% 250±7%	1.41	22
PC47EF32-Z	0.893	83.2	74.3	6180	2590±25%	160±5% 250±7%	2.09	32
PC47EE35/28B-Z	0.819	84.9	69.6	5907	2950±25%	200±5% 400±7%	2.02	28
PC47EE35-Z	0.774	89.3	69.2	6179	3170±25%	200±5% 400±7%	2.14	57

* AL-value: 1kHz, 0.5mA, 100Ts

EE、EFコア

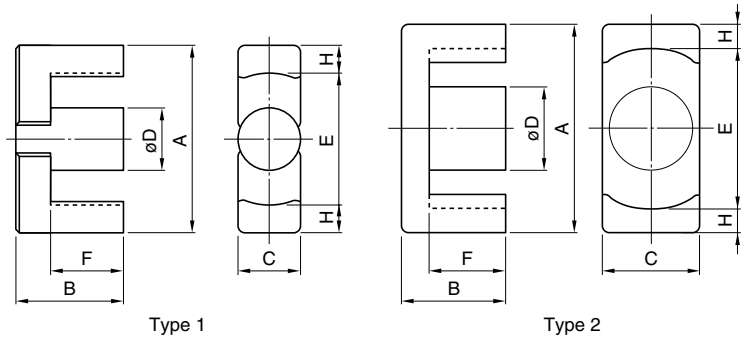
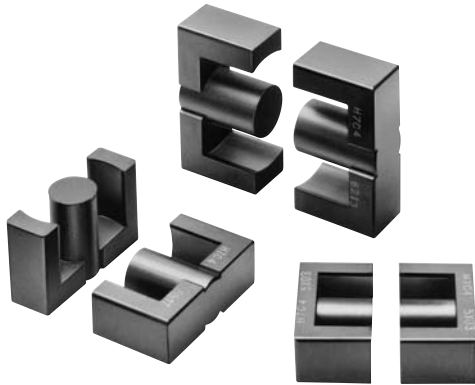


品名	U.S. lam. cores, DIN standard JIS	Type	寸法 (mm)							
			A	B	C	D	E min.	F	H	
PC47EE40-Z	JIS FEE40A	1	40.0±0.5	17.0±0.3	10.7±0.3	10.7±0.3	27.4	10.25±0.25	6.0	
PC47EE41/33C-Z	U.S. EE-21	1	41.07±0.8	16.78±0.4	12.57±0.38	12.64±0.45	28.55	10.38±0.3	6.0	
PC47EE42/42/15-Z	DIN 41295	JIS FEE42A	1	42.15±0.85	21.0±0.2	14.95±0.25	11.95±0.25	29.5	15.15±0.35	6.025
PC47EE42/42/20-Z	DIN 41295	JIS FEE42B	1	42.15±0.85	21.0±0.2	19.7±0.3	11.95±0.25	29.5	15.15±0.35	6.025
PC47EE47/39-Z	U.S. EE-625		1	47.12±0.48	19.63±0.2	15.62±0.25	15.62±0.25	31.72	12.2±0.13	7.49
PC47EE50-Z	JIS FEE50A		1	50.0 ^{+1.0} _{-0.7}	21.3±0.3	14.6±0.4	14.6±0.4	34.2	12.75±0.25	7.5
PC47EE55/55/21-Z	DIN 41295	JIS FEE55	1	55.15±1.05	27.5±0.3	20.7±0.3	16.95±0.25	37.5	18.8±0.3	8.53
PC47EE57/47-Z	U.S. EE-75		1	56.57±1.0	23.60±0.23	18.8±0.25	18.80±0.25	38.1	14.63±0.15	9.02
PC47EE60-Z	JIS FEE60A		1	60.0 ^{+1.1} _{-0.8}	22.3±0.3	15.6±0.4	15.6±0.4	43.8	14.05±0.25	7.7

品名	パラメータ				電気的特性		コアロス (W) max. 100kHz, 200mT, 100°C	質量 (g)
	コア定数 C ₁ (mm ⁻¹)	実効 断面積 A _e (mm ²)	実効 磁路長 ℓ _e (mm)	実効体積 V _e (mm ³)	AL-value (nH/N ²)*			
					ギャップなし	ギャップ付		
PC47EE40-Z	0.606	128	77.3	9890	4150±25%	200±5% 400±7%	3.10	50
PC47EE41/33C-Z	0.495	157	77.6	12200	5060±25%	200±5% 400±7%	4.10	64
PC47EE42/42/15-Z	0.534	182	97.0	17600	4700±25%	250±5% 400±7%	5.94	80
PC47EE42/42/20-Z	0.415	235	97.4	22900	6100±25%	250±5% 400±7%	9.65	116
PC47EE47/39-Z	0.374	242	90.6	21930	6660±25%	250±5% 400±7%	9.04	108
PC47EE50-Z	0.425	226	95.8	21600	6110±25%	250±5% 500±7%	8.78	116
PC47EE55/55/21-Z	0.348	354	123	43700	7100±25%	250±5% 400±7%	18.51	234
PC47EE57/47-Z	0.297	344	102	35100	8530±25%	250±5% 400±7%	14.79	190
PC47EE60-Z	0.446	247	110	27100	5670±25%	250±5% 500±7%	11.35	135

* AL-value: 1kHz, 0.5mA, 100Ts

EER コア



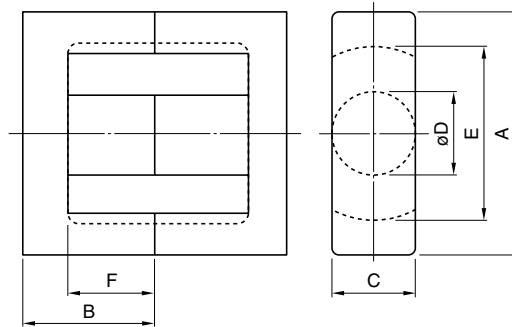
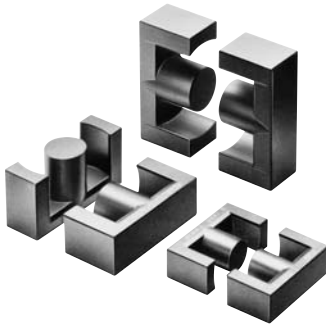
品名	U.S. lam. cores, DIN standard JIS	Type	寸法(mm)						
			A	B	C	øD	E min.	F	H
PC47EER25.5-Z PC95EER25.5-Z	JIS FEER25.5A	1	25.5±0.5	9.3±0.2	7.5±0.2	7.5±0.15	19.8	6.2±0.2	2.6
PC47EER28-Z PC95EER28-Z	JIS FEER28.5A	2	28.55±0.55	14.0±0.2	11.4±0.25	9.9±0.25	21.2	9.65±0.25	3.4
PC47EER28L-Z PC95EER28L-Z	JIS FEER28.5B	2	28.55±0.55	16.9±0.25	11.4±0.25	9.9±0.25	21.2	12.53±0.28	3.4
PC47EER35-Z PC95EER35-Z	JIS FEER35A	1	35.0±0.5	20.7±0.2	11.3±0.2	11.3±0.15	25.6	14.7±0.3	4.43
PC47EER40-Z PC95EER40-Z		1	40.0±0.5	22.4±0.2	13.3±0.25	13.3±0.25	29.0	15.4±0.3	5.28
PC47EER42-Z	JIS FEER42	1	42.0±0.6	22.4±0.2	15.5±0.25	15.5±0.25	29.4	15.4±0.3	6.0
PC47EER42/42/20-Z		2	42.15±0.65	21.2±0.2	19.60±0.4	17.3±0.25	31.8	15.25±0.25	4.93
PC47EER49-Z		1	49.0±0.8	19.0±0.3	17.2±0.4	17.2±0.25	36.4	12.4±0.2	6.0

品名	パラメータ				電気的特性		コアロス (W) max. 100kHz, 200mT, 100°C	質量 (g)
	コア定数 C _i (mm ⁻¹)	実効 断面積 Ae(mm ²)	実効 磁路長 ℓ _e (mm)	実効体積 Ve(mm ³)	AL-value (nH/N ²)*			
					ギャップなし	ギャップ付		
PC47EER25.5-Z PC95EER25.5-Z	1.08	44.8	48.2	2160	1920±25%	100±5%	0.75	11
PC47EER28-Z PC95EER28-Z	0.780	82.1	64.0	5250	2870±25%	200±5%	1.72	28
PC47EER28L-Z PC95EER28L-Z	0.928	81.4	75.5	6150	4000±25%	400±7%	2.45/2.1/2.45**	33
PC47EER35-Z PC95EER35-Z	0.849	107	90.8	9720	2520±25%	160±5%	2.03	52
PC47EER40-Z PC95EER40-Z	0.658	149	98.0	14600	3500±25%	315±7%	2.9/2.45/2.9**	78
PC47EER42-Z	0.509	194	98.8	19200	3620±25%	200±5%	4.77	102
PC47EER42/42/20-Z	0.411	240	98.6	23700	5200±25%	400±7%	6.8/5.7/6.8**	116
PC47EER49-Z	0.395	231	91.3	21100	4690±25%	250±5% 500±7%	6.47	110

* AL-value: 1kHz, 0.5mA, 100Ts

** コアロス : 100kHz, 200mT, 25°C/80°C/120°C

ETD コア

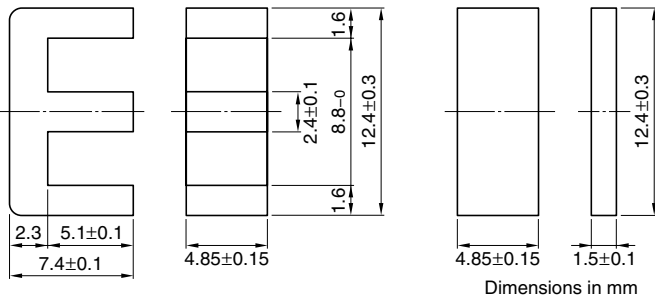


品名	JIS	寸法(mm)					
		A	B	C	øD	E	F
PC47ETD19-Z		19.6±0.5	13.65±0.15	7.4±0.2	7.4±0.2	14.9±0.5	9.4±0.2
PC47ETD24-Z		24.4±0.6	14.45±0.15	8.5±0.4	8.5±0.2	18.6±0.6	10.1±0.2
PC47ETD29-Z		29.8±0.8	15.80±0.15	9.5±0.3	9.5±0.3	22.7±0.7	11.0±0.3
PC47ETD34-Z	JIS FEER 34.2	34.2±0.8	17.3±0.2	10.88±0.38	10.8±0.3	26.3±0.7	12.1±0.3
PC47ETD39-Z	JIS FEER 39.1	39.1±0.9	19.8±0.2	12.58±0.38	12.5±0.3	30.1±0.8	14.6±0.4
PC47ETD44-Z	JIS FEER 44	44.0±1.0	22.3±0.2	14.9±0.5	14.8±0.4	33.3±0.8	16.5±0.4
PC47ETD49-Z	JIS FEER 48.7	48.7±1.1	24.7±0.2	16.4±0.5	16.3±0.4	37.0±0.9	18.1±0.4

品名	パラメータ				電気的特性		コアロス (W) max. 100kHz, 200mT, 100°C	質量 (g)
	コア定数 C _i (mm ⁻¹)	実効 断面積 A _e (mm ²)	実効 磁路長 ℓ _e (mm)	実効体積 V _e (mm ³)	AL-value (nH/N ²)*			
					ギャップなし	ギャップ付		
PC47ETD19-Z	1.32	41.3	54.6	2260	1720±25%	80±5% 160±7%	1.01	14
PC47ETD24-Z	1.100	56.3	61.9	3480	2125±25%	100±5% 200±7%	1.51	20
PC47ETD29-Z	0.959	73.6	70.6	5200	2500±25%	200±5% 400±10%	1.75	28
PC47ETD34-Z	0.810	97.1	78.6	7630	2780±25%	200±5% 400±7%	2.52	40
PC47ETD39-Z	0.737	125	92.1	11500	3150±25%	200±5% 400±7%	3.96	60
PC47ETD44-Z	0.589	175	103	18000	4000±25%	250±5% 400±7%	6.20	94
PC47ETD49-Z	0.535	213	114	24300	4440±25%	250±5% 400±7%	10.25	124

* AL-value: 1kHz, 0.5mA, 100Ts

EIシリーズ EI12.5コア (JIS FEI 12.5)



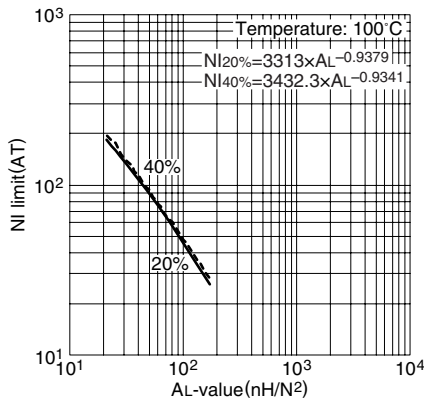
パラメータ

コア定数	C1	mm ⁻¹	1.48
実効磁路長	l_e	mm	21.3
実効断面積	Ae	mm ²	14.4
実効体積	Ve	mm ³	308
中脚断面積	Acp	mm ²	11.6
最小中脚断面積	Acp min.	mm ²	10.8
巻線断面積	Acw	mm ²	17.3
質量 (組)	g		1.9

品名	AL-value (nH/N ²)	コアロス(W) at 100°C 100kHz, 200mT	設計例 (フォワードコンバータ方式)
PC47EI12.5-Z	1200±25% (1kHz, 0.5mA)* 2120 min. (100kHz, 200mT)	0.10 max.	11.5W (100kHz)

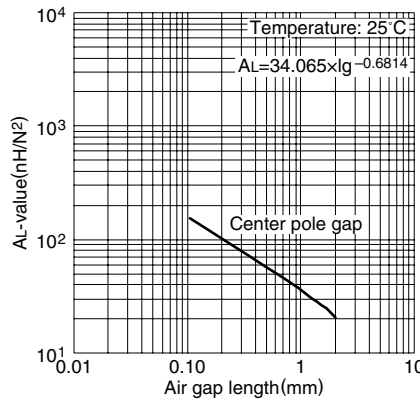
* コイル : ø0.2 2UEW 100Ts

NI limit vs. AL-value (代表例) PC47EI12.5 コア (ギャップ付)



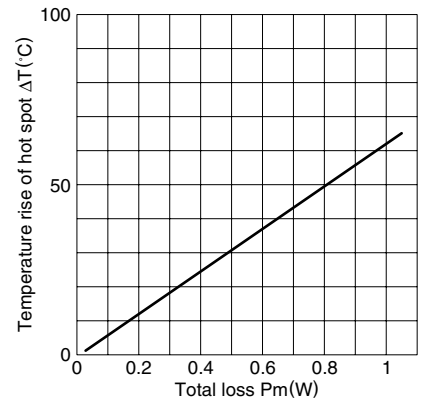
Note: このグラフに示されている限界線は、磁束に対する励磁電流の変化が直線である部分を延長し、それが20%および40%はずれた時の磁界の強さとAL-valueの関係を表わします。

AL-value vs. エアギャップ長 (代表例) PC47EI12.5 コア

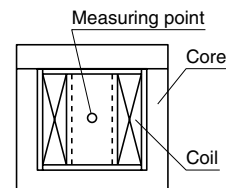


測定条件
 • コイル : ø0.2 2UEW 100Ts
 • 周波数 : 1kHz
 • 電流 : 0.5mA

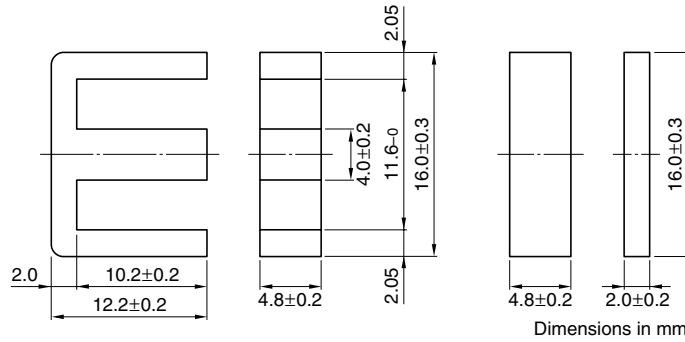
温度上昇 vs. トータルロス特性 (代表例) EI12.5 コア



Note: 温度上昇データは、広さ約400x300x300cmの恒温恒湿(25°C、45%(RH.))の室内で測定しました。



EIシリーズ EI16コア (JIS FEI 16)



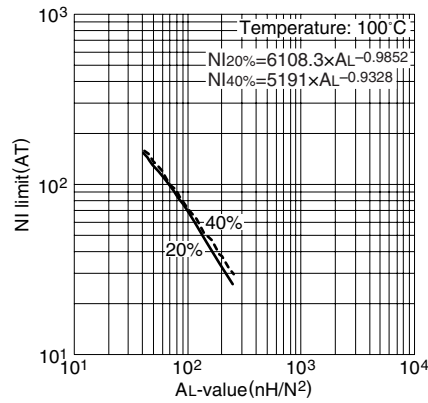
パラメータ

コア定数	C1	mm ⁻¹	1.75
実効磁路長	ℓ_e	mm	34.6
実効断面積	Ae	mm ²	19.8
実効体積	Ve	mm ³	685
中脚断面積	Acp	mm ²	19.2
最小中脚断面積	Acp min.	mm ²	17.5
巻線断面積	Acw	mm ²	40.3
質量 (組)	g		3.3

品名	AL-value (nH/N ²)	コアロス(W) at 100°C 100kHz, 200mT	設計例 (フォワードコンバータ方式)
PC47EI16-Z	1100±25% (1kHz, 0.5mA)* 1750 min. (100kHz, 200mT)	0.29 max.	33W (100kHz)

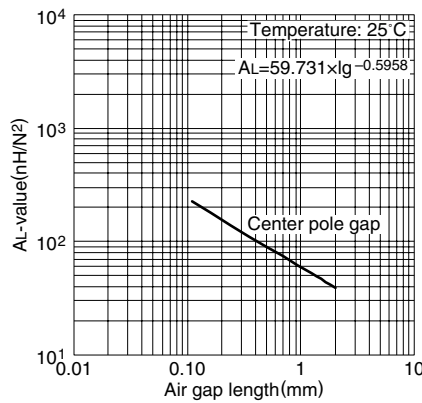
* コイル : ϕ 0.23 2UEW 100Ts

NI limit vs. AL-value (代表例) PC47EI16 コア (ギャップ付)



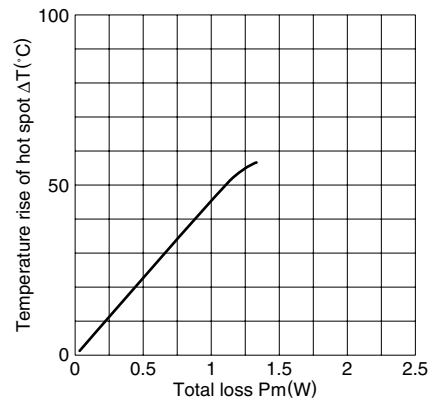
Note: このグラフに示されている限界線は、磁束に対する励磁電流の変化が直線である部分を延長し、それが20%および40%はずれた時の磁界の強さとAL-valueの関係を表わします。

AL-value vs. エアギャップ長 (代表例) PC47EI16 コア

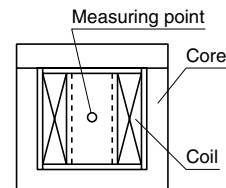


測定条件
 • コイル : ϕ 0.23 2UEW 100Ts
 • 周波数 : 1kHz
 • 電流 : 0.5mA

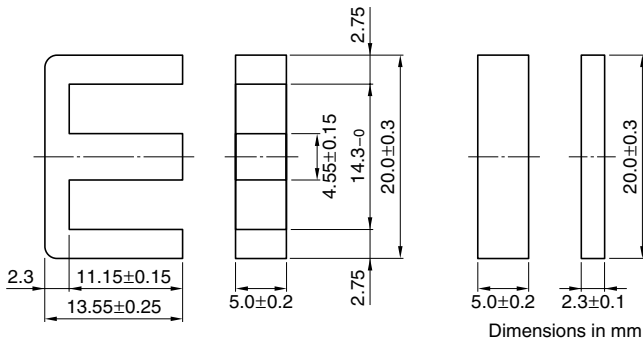
温度上昇 vs. トータルロス特性 (代表例) EI16 コア



Note: 温度上昇データは、広さ約400x300x300cmの恒温恒湿(25°C、45%(%)RH.)の室内で測定しました。



EIシリーズ EI19 コア



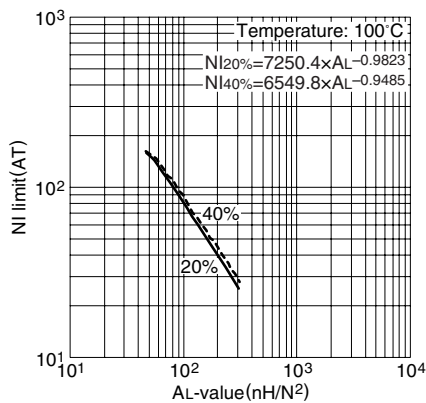
パラメータ

コア定数	C1	mm ⁻¹	1.65
実効磁路長	ℓ _e	mm	39.6
実効断面積	A _e	mm ²	24.0
実効体積	V _e	mm ³	950
中脚断面積	A _{cp}	mm ²	22.8
最小中脚断面積	A _{cp min.}	mm ²	21.1
巻線断面積	A _{cw}	mm ²	55.5
質量 (組)	g		5.1

品名	AL-value (nH/N ²)	コアロス(W) at 100°C 100kHz, 200mT	設計例 (フォワードコンバータ方式)
PC47EI19-Z	1400±25% (1kHz, 0.5mA)* 1830 min. (100kHz, 200mT)	0.39 max.	45W (100kHz)

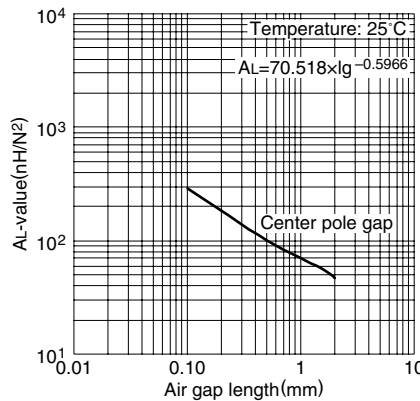
* コイル : ø0.23 2UEW 100Ts

NI limit vs. AL-value (代表例) PC47EI19 コア (ギャップ付)



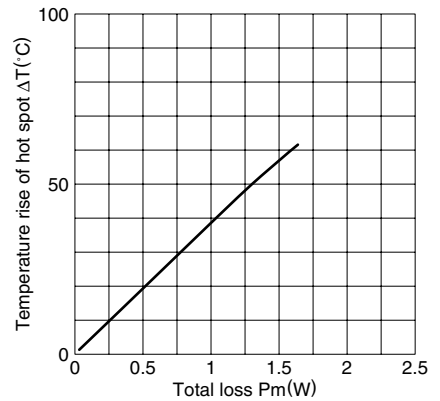
Note: このグラフに示されている限界線は、磁束に対する励磁電流の変化が直線である部分を延長し、それが20%および40%はずれた時の磁界の強さとAL-valueの関係を表わします。

AL-value vs. エアギャップ長 (代表例) PC47EI19 コア

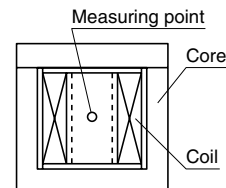


測定条件
 • コイル : ø0.23 2UEW 100Ts
 • 周波数 : 1kHz
 • 電流 : 0.5mA

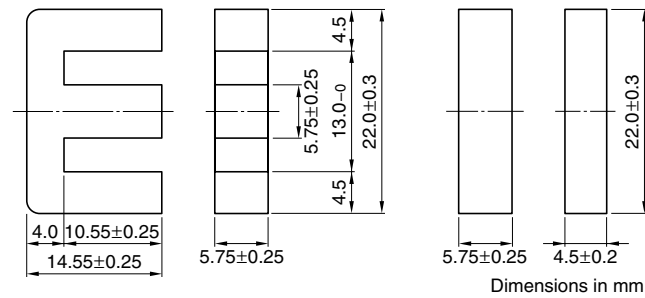
温度上昇 vs. トータルロス特性 (代表例) EI19 コア



Note: 温度上昇データは、広さ約400x300x300cmの恒温恒湿(25°C, 45%(%)RH.)の室内で測定しました。



EIシリーズ EI22 コア



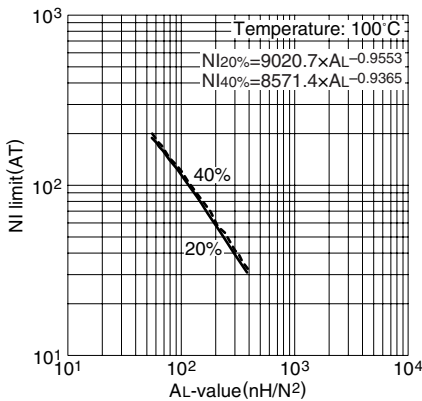
パラメータ

コア定数	C1	mm ⁻¹	0.936
実効磁路長	ℓ _e	mm	39.3
実効断面積	A _e	mm ²	42.0
実効体積	V _e	mm ³	1650
中脚断面積	A _{cp}	mm ²	33.1
最小中脚断面積	A _{cp min.}	mm ²	30.3
巻線断面積	A _{cw}	mm ²	38.2
質量 (組)	g		9.8

品名	AL-value (nH/N ²)	コアロス(W) at 100°C 100kHz, 200mT	設計例 (フォワードコンバータ方式)
PC47EI22-Z	2400±25% (1kHz, 0.5mA)* 3360 min. (100kHz, 200mT)	0.56 max.	49W (100kHz)

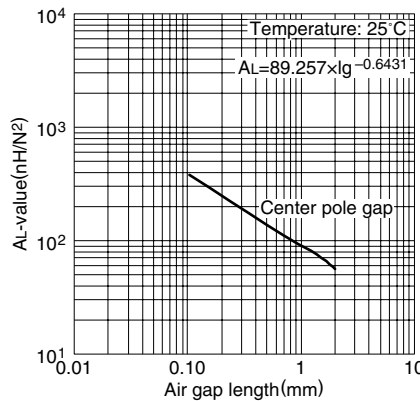
* コイル : ø0.23 2UEW 100Ts

NI limit vs. AL-value (代表例) PC47EI22 コア (ギャップ付)



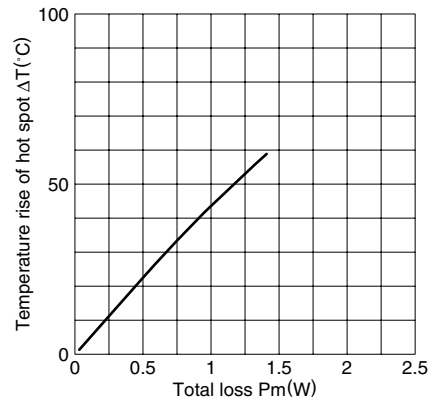
Note: このグラフに示されている限界線は、磁束に対する励磁電流の変化が直線である部分を延長し、それが20%および40%はずれた時の磁界の強さとAL-valueの関係を表わします。

AL-value vs. エアギャップ長 (代表例) PC47EI22 コア

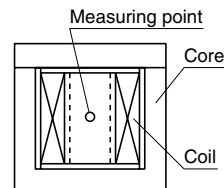


測定条件
 • コイル : ø0.23 2UEW 100Ts
 • 周波数 : 1kHz
 • 電流 : 0.5mA

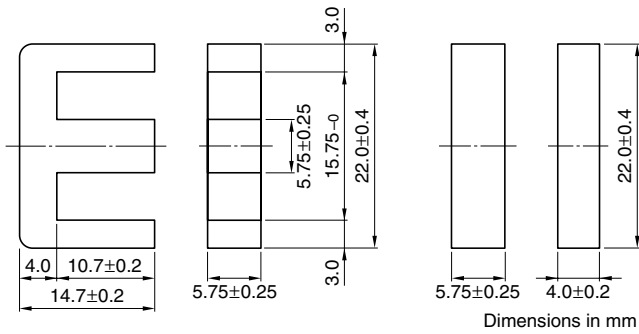
温度上昇 vs. トータルロス特性 (代表例) EI22 コア



Note: 温度上昇データは、広さ約400x300x300cmの恒温恒湿(25°C, 45%(%)RH.)の室内で測定しました。



EIシリーズ EI22/19/6 コア (JIS FEI 22)



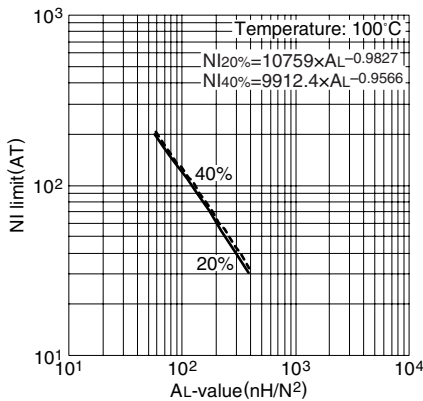
パラメータ

コア定数	C1	mm ⁻¹	1.13
実効磁路長	ℓ _e	mm	41.8
実効断面積	A _e	mm ²	37.0
実効体積	V _e	mm ³	1550
中脚断面積	A _{cp}	mm ²	33.1
最小中脚断面積	A _{cp min.}	mm ²	30.3
巻線断面積	A _{cw}	mm ²	54.8
質量 (組)	g		8.5

品名	AL-value (nH/N ²)	コアロス (W) at 100°C 100kHz, 200mT	設計例 (フォワードコンバータ方式)
PC47EI22/19/6-Z	2000±25% (1kHz, 0.5mA)* 2780 min. (100kHz, 200mT)	0.59 max.	59W (100kHz)

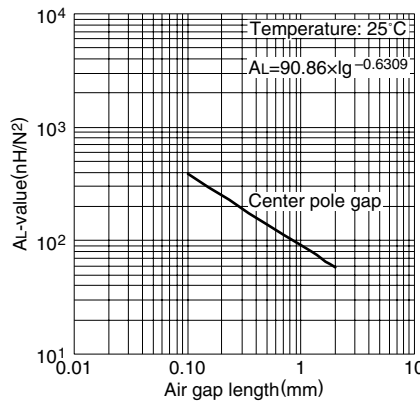
* コイル : ø0.23 2UEW 100Ts

NI limit vs. AL-value (代表例) PC47EI22/19/6 コア (ギャップ付)



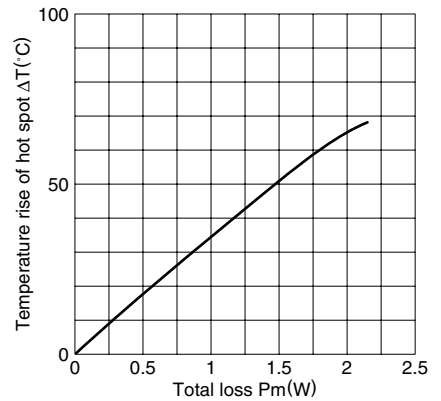
Note: このグラフに示されている限界線は、磁束に対する励磁電流の変化が直線である部分を延長し、それが20%および40%はずれた時の磁界の強さとAL-valueの関係を表わします。

AL-value vs. エアギャップ長 (代表例) PC47EI22/19/6 コア

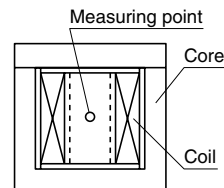


測定条件
 • コイル : ø0.23 2UEW 100Ts
 • 周波数 : 1kHz
 • 電流 : 0.5mA

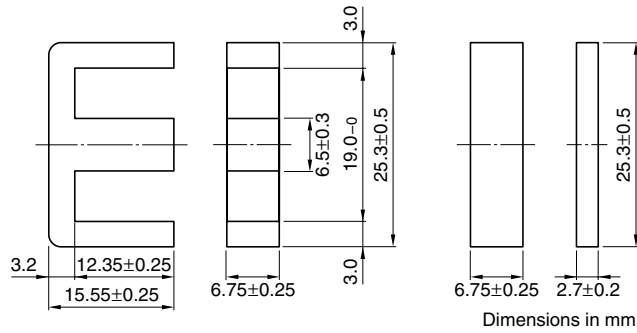
温度上昇 vs. トータルロス特性 (代表例) EI22/19/6 コア



Note: 温度上昇データは、広さ約400x300x300cmの恒温恒湿(25°C, 45%(%)RH.)の室内で測定しました。



EIシリーズ EI25 コア



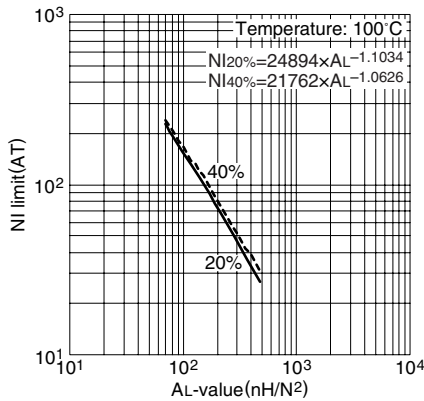
パラメータ

コア定数	C1	mm ⁻¹	1.15
実効磁路長	ℓ _e	mm	47.0
実効断面積	A _e	mm ²	41.0
実効体積	V _e	mm ³	1930
中脚断面積	A _{cp}	mm ²	43.9
最小中脚断面積	A _{cp min.}	mm ²	40.3
巻線断面積	A _{cw}	mm ²	77.2
質量 (組)		g	9.8

品名	AL-value (nH/N ²)	コアロス(W) at 100°C 100kHz, 200mT	設計例 (フォワードコンバータ方式)
PC47EI25-Z	2140±25% (1kHz, 0.5mA)* 2950 min. (100kHz, 200mT)	0.82 max.	82W (100kHz)

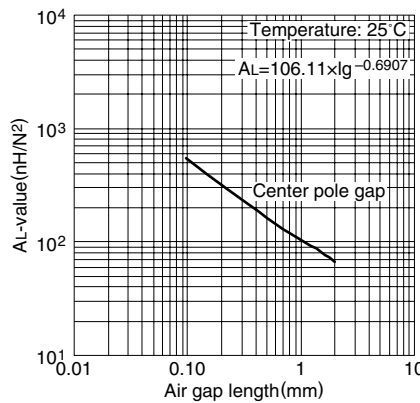
* コイル : ø0.35 2UEW 100Ts

NI limit vs. AL-value (代表例) PC47EI25 コア (ギャップ付)



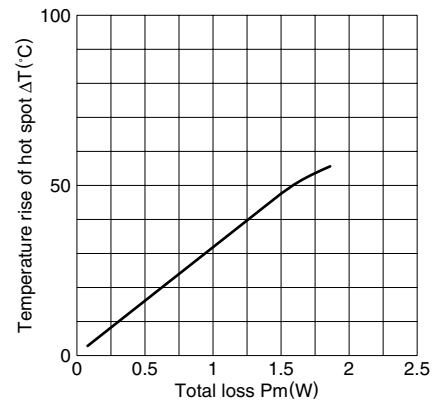
Note: このグラフに示されている限界線は、磁束に対する励磁電流の変化が直線である部分を延長し、それが20%および40%はずれた時の磁界の強さとAL-valueの関係を表わします。

AL-value vs. エアギャップ長 (代表例) PC47EI25 コア

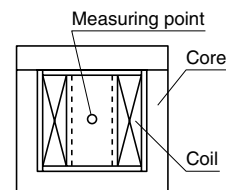


測定条件
 • コイル : ø0.35 2UEW 100Ts
 • 周波数 : 1kHz
 • 電流 : 0.5mA

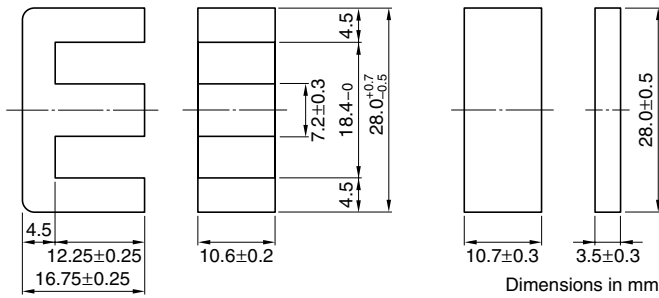
温度上昇 vs. トータルロス特性 (代表例) EI25 コア



Note: 温度上昇データは、広さ約400x300x300cmの恒温恒湿(25°C、45%(%)RH.)の室内で測定しました。



EIシリーズ EI28 コア (JIS FEI 28)



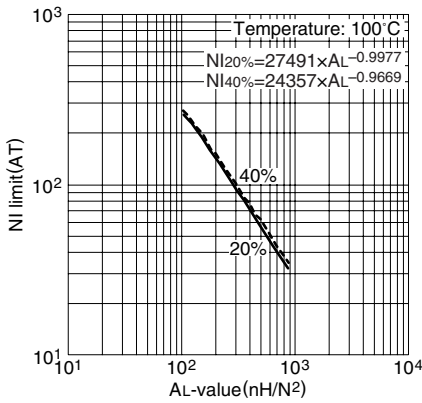
パラメータ

コア定数	C1	mm ⁻¹	0.560
実効磁路長	ℓ _e	mm	48.2
実効断面積	A _e	mm ²	86.0
実効体積	V _e	mm ³	4150
中脚断面積	A _{cp}	mm ²	76.3
最小中脚断面積	A _{cp min.}	mm ²	71.8
巻線断面積	A _{cw}	mm ²	69.8
質量 (組)	g		22

品名	AL-value (nH/N ²)	コアロス(W) at 100°C 100kHz, 200mT	設計例 (フォワードコンバータ方式)
PC47EI28-Z	4300±25% (1kHz, 0.5mA)* 6060 min. (100kHz, 200mT)	1.58 max.	145W (100kHz)

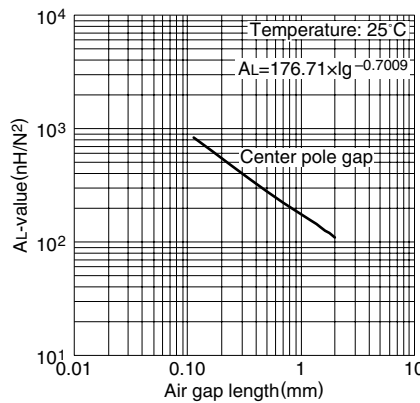
* コイル : ø0.35 2UEW 100Ts

NI limit vs. AL-value (代表例) PC47EI28 コア (ギャップ付)



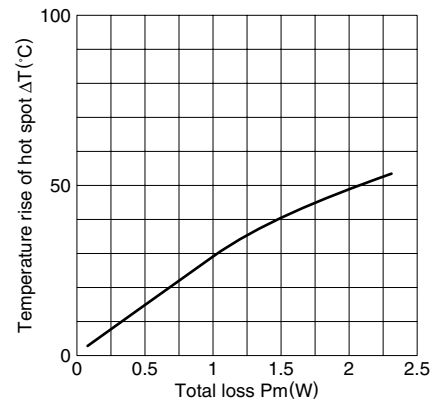
Note: このグラフに示されている限界線は、磁束に対する励磁電流の変化が直線である部分を延長し、それが20%および40%はずれた時の磁界の強さとAL-valueの関係を表わします。

AL-value vs. エアギャップ長 (代表例) PC47EI28 コア

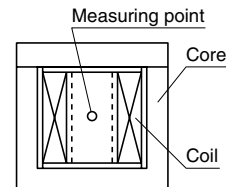


測定条件
 • コイル : ø0.35 2UEW 100Ts
 • 周波数 : 1kHz
 • 電流 : 0.5mA

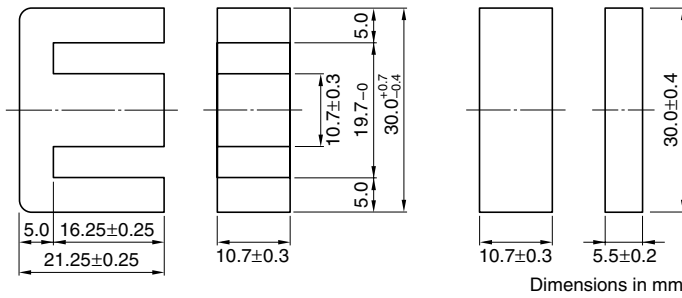
温度上昇 vs. トータルロス特性 (代表例) EI28 コア



Note: 温度上昇データは、広さ約400x300x300cmの恒温恒湿(25°C、45%(RH.))の室内で測定しました。



EIシリーズ EI30 コア (JIS FEI 30)



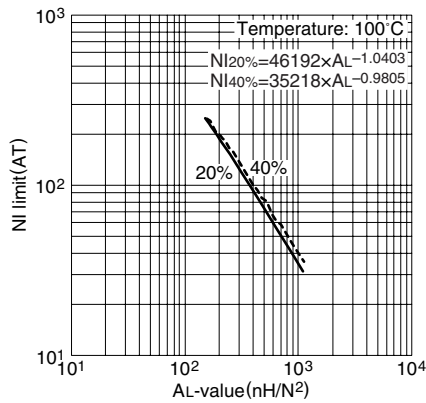
パラメータ

コア定数	C1	mm ⁻¹	0.523
実効磁路長	ℓ _e	mm	58.0
実効断面積	A _e	mm ²	111
実効体積	V _e	mm ³	6440
中脚断面積	A _{cp}	mm ²	114
最小中脚断面積	A _{cp min.}	mm ²	108
巻線断面積	A _{cw}	mm ²	75.6
質量 (組)	g		34

品名	AL-value (nH/N ²)	コアロス(W) at 100°C 100kHz, 200mT	設計例 (フォワードコンバータ方式)
PC47EI30-Z	4690±25% (1kHz, 0.5mA)* 6490 min. (100kHz, 200mT)	2.17 max.	214W (100kHz)

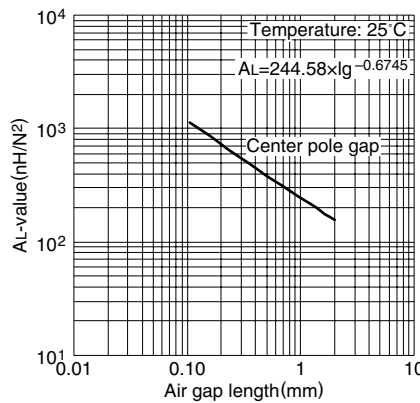
* コイル : ø0.35 2UEW 100Ts

NI limit vs. AL-value (代表例) PC47EI30 コア (ギャップ付)



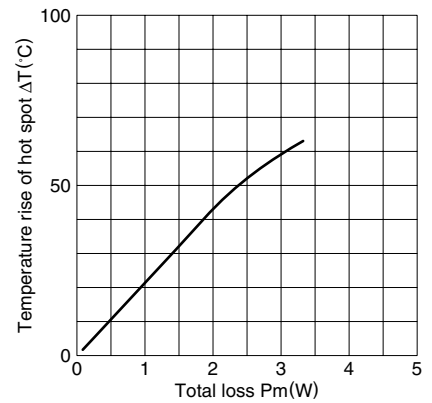
Note: このグラフに示されている限界線は、磁束に対する励磁電流の変化が直線である部分を延長し、それが20%および40%はずれた時の磁界の強さとAL-valueの関係を表わします。

AL-value vs. エアギャップ長 (代表例) PC47EI30 コア

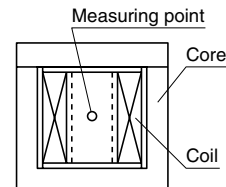


測定条件
 • コイル : ø0.35 2UEW 100Ts
 • 周波数 : 1kHz
 • 電流 : 0.5mA

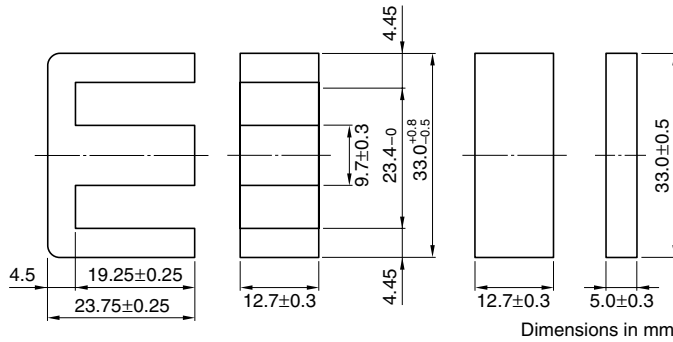
温度上昇 vs. トータルロス特性 (代表例) EI30 コア



Note: 温度上昇データは、広さ約400x300x300cmの恒温恒湿(25°C、45%(%)RH.)の室内で測定しました。



EIシリーズ EI33/29/13 コア



パラメータ

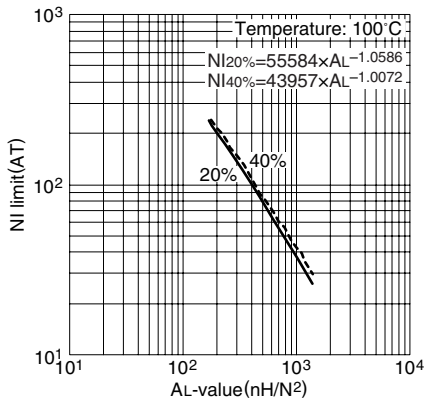
コア定数	C1	mm ⁻¹	0.567
実効磁路長	ℓ _e	mm	67.5
実効断面積	A _e	mm ²	119
実効体積	V _e	mm ³	8030
中脚断面積	A _{cp}	mm ²	123
最小中脚断面積	A _{cp min.}	mm ²	117
巻線断面積	A _{cw}	mm ²	138.6
質量 (組)	g		41

品名	AL-value (nH/N ²)	コアロス(W) at 100°C 100kHz, 200mT	設計例 (フォワードコンバータ方式)
PC47EI33/29/13-Z	4400±25% (1kHz, 0.5mA)* 5980 min. (100kHz, 200mT)	2.67 max.	288W (100kHz)

* コイル : ø0.35 2UEW 100Ts

NI limit vs. AL-value (代表例)

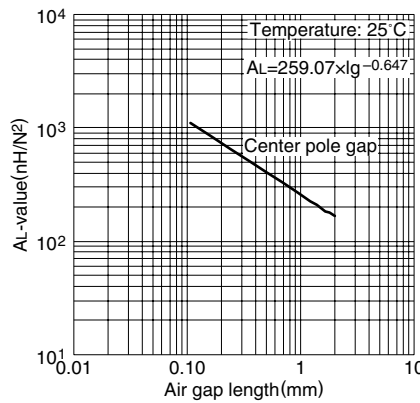
PC47EI33/29/13 コア (ギャップ付)



Note: このグラフに示されている限界線は、磁束に対する励磁電流の変化が直線である部分を延長し、それが20%および40%はずれた時の磁界の強さとAL-valueの関係を表わします。

AL-value vs. エアギャップ長 (代表例)

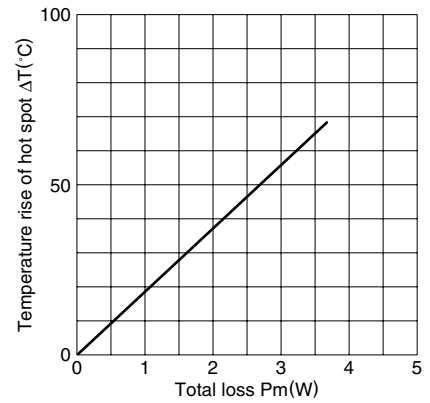
PC47EI33/29/13 コア



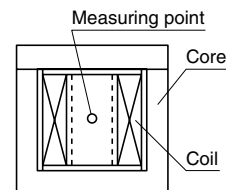
測定条件
 • コイル : ø0.35 2UEW 100Ts
 • 周波数 : 1kHz
 • 電流 : 0.5mA

温度上昇 vs. トータルロス特性 (代表例)

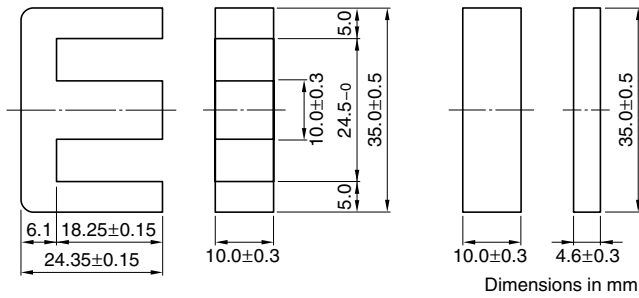
EI33/29/13 コア



Note: 温度上昇データは、広さ約400x300x300cmの恒温恒湿(25°C、45%RH.)の室内で測定しました。



EIシリーズ EI35 コア (JIS FEI 35)



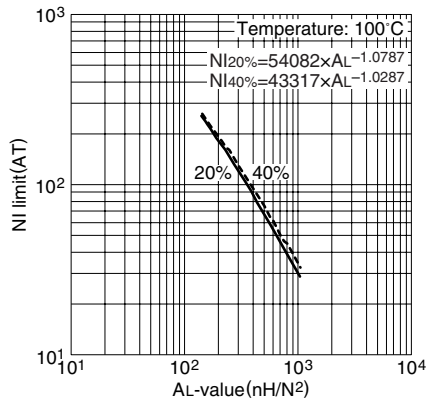
パラメータ

コア定数	C1	mm ⁻¹	0.664
実効磁路長	ℓ _e	mm	67.1
実効断面積	A _e	mm ²	101
実効体積	V _e	mm ³	6780
中脚断面積	A _{cp}	mm ²	100
最小中脚断面積	A _{cp min.}	mm ²	94.1
巻線断面積	A _{cw}	mm ²	131.6
質量 (組)	g		36

品名	AL-value (nH/N ²)	コアロス(W) at 100°C 100kHz, 200mT	設計例 (フォワードコンバータ方式)
PC47EI35-Z	3800±25% (1kHz, 0.5mA)* 5110 min. (100kHz, 200mT)	2.35 max.	266W (100kHz)

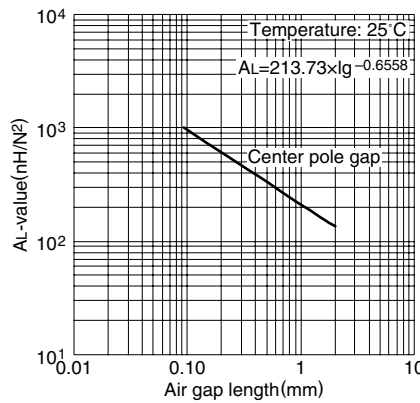
* コイル : ø0.35 2UEW 100Ts

NI limit vs. AL-value (代表例) PC47EI35 コア (ギャップ付)



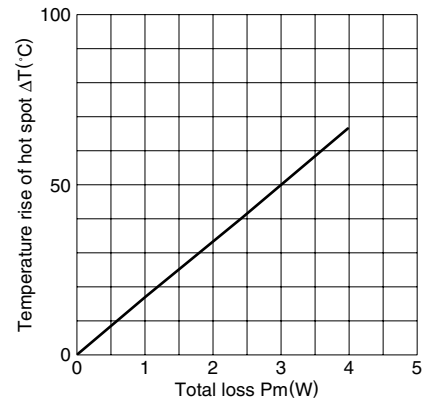
Note: このグラフに示されている限界線は、磁束に対する励磁電流の変化が直線である部分を延長し、それが20%および40%はずれた時の磁界の強さとAL-valueの関係を表わします。

AL-value vs. エアギャップ長 (代表例) PC47EI35 コア

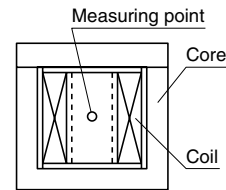


測定条件
 • コイル : ø0.35 2UEW 100Ts
 • 周波数 : 1kHz
 • 電流 : 0.5mA

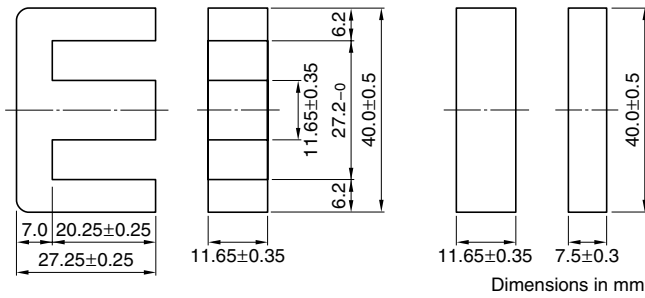
温度上昇 vs. トータルロス特性 (代表例) EI35 コア



Note: 温度上昇データは、広さ約400x300x300cmの恒温恒湿(25°C、45%RH.)の室内で測定しました。



EIシリーズ EI40 コア (JIS FEI 40)



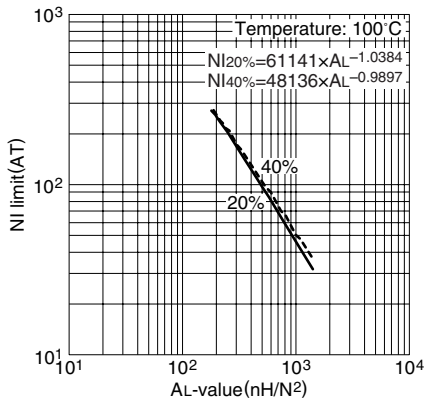
パラメータ

コア定数	C1	mm ⁻¹	0.520
実効磁路長	ℓ _e	mm	77.0
実効断面積	A _e	mm ²	148
実効体積	V _e	mm ³	11400
中脚断面積	A _{cp}	mm ²	136
最小中脚断面積	A _{cp min.}	mm ²	128
巻線断面積	A _{cw}	mm ²	160.5
質量 (組)	g		60

品名	AL-value (nH/N ²)	コアロス(W) at 100°C 100kHz, 200mT	設計例 (フォワードコンバータ方式)
PC47EI40-Z	4860±25% (1kHz, 0.5mA)* 6520 min. (100kHz, 200mT)	3.66 max.	361W (100kHz)

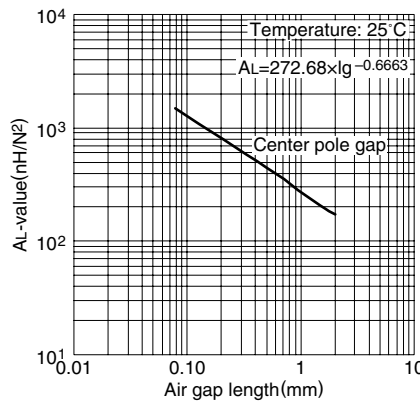
* コイル : ø0.35 2UEW 100Ts

NI limit vs. AL-value (代表例) PC47EI40 コア (ギャップ付)



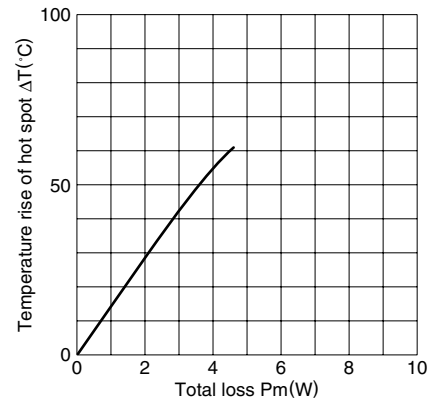
Note: このグラフに示されている限界線は、磁束に対する励磁電流の変化が直線である部分を延長し、それが20%および40%はずれた時の磁界の強さとAL-valueの関係を表わします。

AL-value vs. エアギャップ長 (代表例) PC47EI40 コア

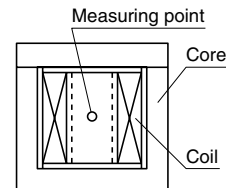


測定条件
 • コイル : ø0.35 2UEW 100Ts
 • 周波数 : 1kHz
 • 電流 : 0.5mA

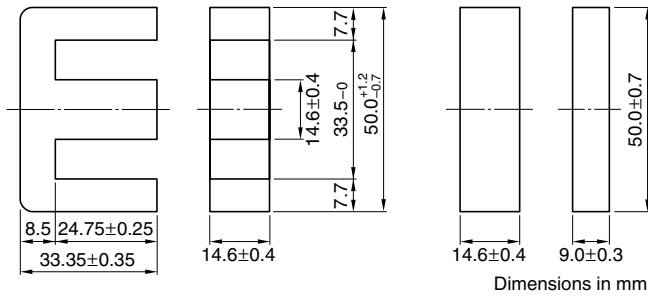
温度上昇 vs. トータルロス特性 (代表例) EI40 コア



Note: 温度上昇データは、広さ約400x300x300cmの恒温恒湿(25°C、45%(%)RH.)の室内で測定しました。



EIシリーズ EI50 コア (JIS FEI 50)



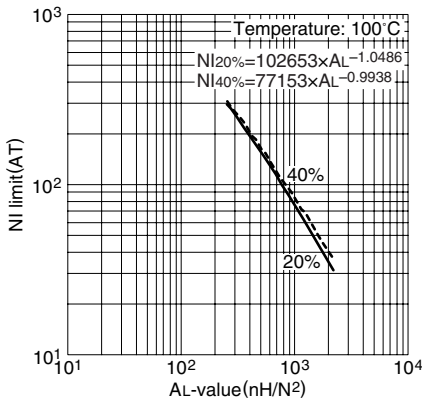
パラメータ

コア定数	C1	mm ⁻¹	0.409
実効磁路長	ℓ _e	mm	94.0
実効断面積	A _e	mm ²	230
実効体積	V _e	mm ³	21620
中脚断面積	A _{cp}	mm ²	213
最小中脚断面積	A _{cp min.}	mm ²	202
巻線断面積	A _{cw}	mm ²	246.3
質量 (組)	g		115

品名	AL-value (nH/N ²)	コアロス(W) at 100°C 100kHz, 200mT	設計例 (フォワードコンバータ方式)
PC47EI50-Z	6110±25% (1kHz, 0.5mA)* 8300 min. (100kHz, 200mT)	8.62 max.	554W (100kHz)

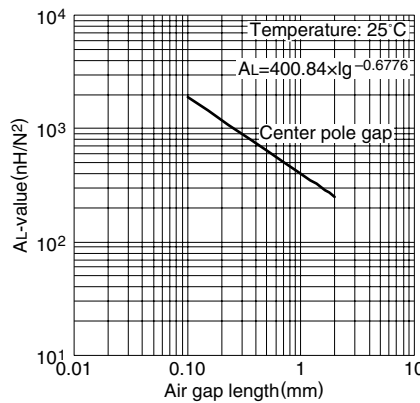
* コイル : ø0.35 2UEW 100Ts

NI limit vs. AL-value (代表例) PC47EI50 コア (ギャップ付)



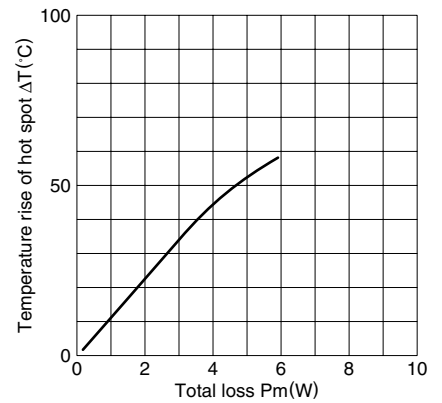
Note: このグラフに示されている限界線は、磁束に対する励磁電流の変化が直線である部分を延長し、それが20%および40%はずれた時の磁界の強さとAL-valueの関係を表わします。

AL-value vs. エアギャップ長 (代表例) PC47EI50 コア

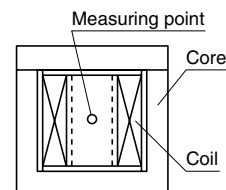


測定条件
 • コイル : ø0.35 2UEW 100Ts
 • 周波数 : 1kHz
 • 電流 : 0.5mA

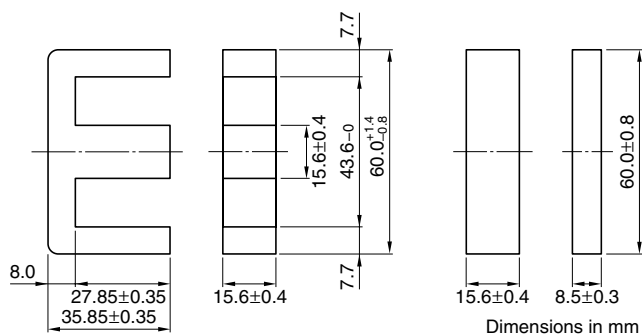
温度上昇 vs. トータルロス特性 (代表例) EI50 コア



Note: 温度上昇データは、広さ約400x300x300cmの恒温恒湿(25°C、45%(RH.))の室内で測定しました。



EIシリーズ EI60 コア (JIS FEI 60)



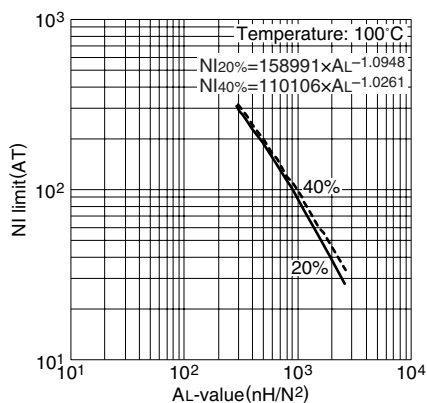
パラメータ

コア定数	C1	mm ⁻¹	0.441
実効磁路長	ℓ _e	mm	109
実効断面積	A _e	mm ²	247
実効体積	V _e	mm ³	26900
中脚断面積	A _{cp}	mm ²	243
最小中脚断面積	A _{cp min.}	mm ²	231
巻線断面積	A _{cw}	mm ²	402.4
質量 (組)	g		139

品名	AL-value (nH/N ²)	コアロス(W) at 100°C 100kHz, 200mT	設計例 (フォワードコンバータ方式)
PC47EI60-Z	5670±25% (1kHz, 0.5mA)* 7690 min. (100kHz, 200mT)	9.16 max.	712W (100kHz)

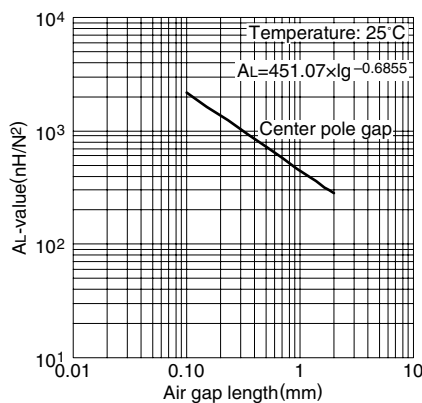
* コイル : ø0.35 2UEW 100Ts

NI limit vs. AL-value (代表例) PC47EI60 コア (ギャップ付)



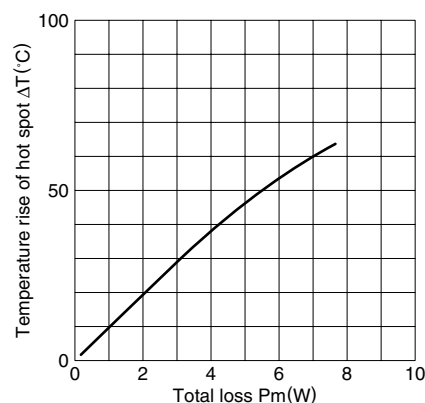
Note: このグラフに示されている限界線は、磁束に対する励磁電流の変化が直線である部分を延長し、それが20%および40%はずれた時の磁界の強さとAL-valueの関係を表わします。

AL-value vs. エアギャップ長 (代表例) PC47EI60 コア

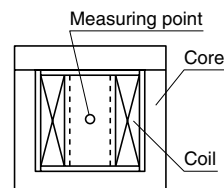


測定条件
 • コイル : ø0.35 2UEW 100Ts
 • 周波数 : 1kHz
 • 電流 : 0.5mA

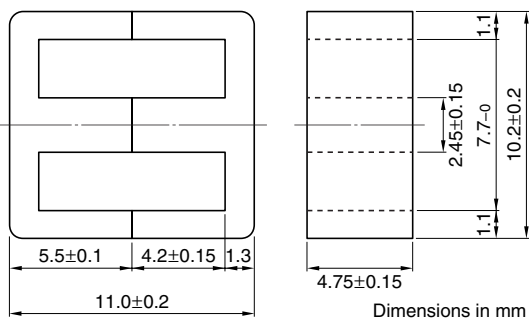
温度上昇 vs. トータルロス特性 (代表例) EI60 コア



Note: 温度上昇データは、広さ約400x300x300cmの恒温恒湿(25°C、45%RH.)の室内で測定しました。



EEシリーズ EE10/11 コア (JIS FEE 10.2)



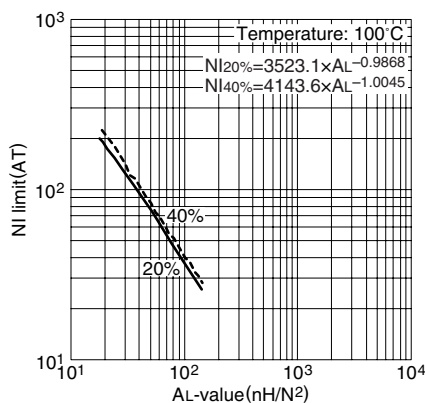
パラメータ

コア定数	C1	mm ⁻¹	2.16
実効磁路長	ℓ _e	mm	26.1
実効断面積	A _e	mm ²	12.1
実効体積	V _e	mm ³	315
中脚断面積	A _{cp}	mm ²	11.6
最小中脚断面積	A _{cp min.}	mm ²	10.6
巻線断面積	A _{cw}	mm ²	23.3
質量 (組)		g	1.5

品名	AL-value (nH/N ²)	コアロス(W) at 100°C 100kHz, 200mT	設計例 (フォワードコンバータ方式)
PC47EE10/11-Z	850±25% (1kHz, 0.5mA)* 1450 min. (100kHz, 200mT)	0.12 max.	12.1W (100kHz)

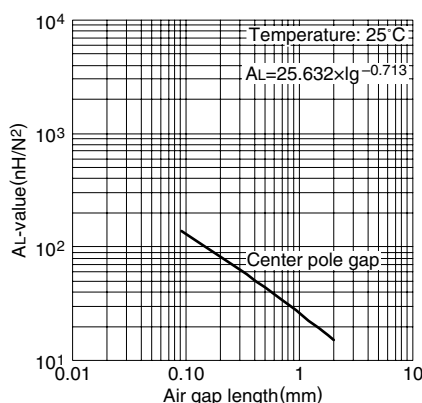
* コイル : ø0.18 2UEW 100Ts

NI limit vs. AL-value (代表例) PC47EE10/11 コア (ギャップ付)



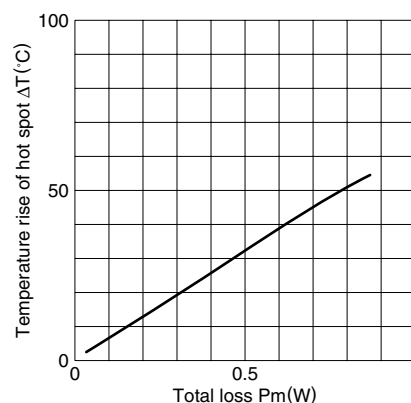
Note: このグラフに示されている限界線は、磁束に対する励磁電流の変化が直線である部分を延長し、それが20%および40%はずれた時の磁界の強さとAL-valueの関係を表わします。

AL-value vs. エアギャップ長 (代表例) PC47EE10/11 コア

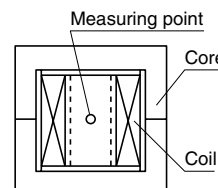


測定条件
 • コイル : ø0.18 2UEW 100Ts
 • 周波数 : 1kHz
 • 電流 : 0.5mA

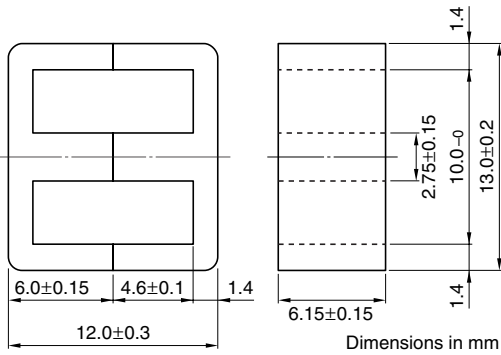
温度上昇 vs. トータルロス特性 (代表例) EE10/11 コア



Note: 温度上昇データは、広さ約400x300x300cmの恒温恒湿(25°C、45%(%)RH.)の室内で測定しました。



EEシリーズ EE13コア



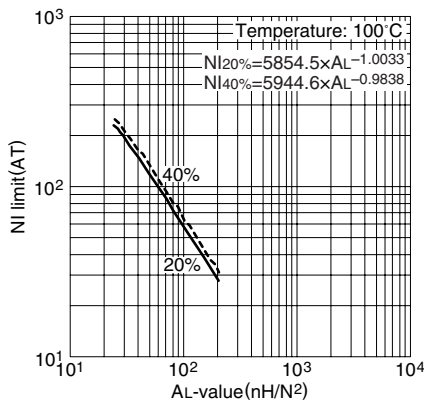
パラメータ

コア定数	C1	mm ⁻¹	1.77
実効磁路長	ℓ _e	mm	30.2
実効断面積	A _e	mm ²	17.1
実効体積	V _e	mm ³	517
中脚断面積	A _{cp}	mm ²	16.9
最小中脚断面積	A _{cp min.}	mm ²	15.6
巻線断面積	A _{cw}	mm ²	34.3
質量 (組)	g		2.7

品名	AL-value (nH/N ²)	コアロス(W) at 100°C 100kHz, 200mT	設計例 (フォワードコンバータ方式)
PC47EE13-Z	1130±25% (1kHz, 0.5mA)* 1770 min. (100kHz, 200mT)	0.22 max.	25W (100kHz)

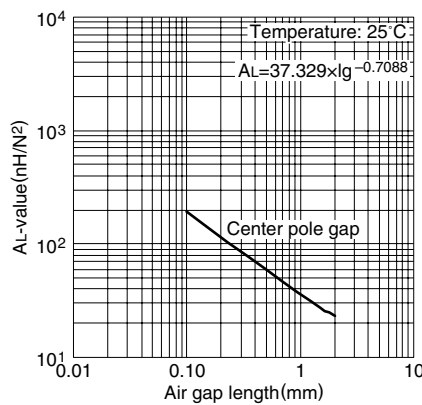
* コイル : ø0.18 2UEW 100Ts

NI limit vs. AL-value (代表例) PC47EE13 コア (ギャップ付)



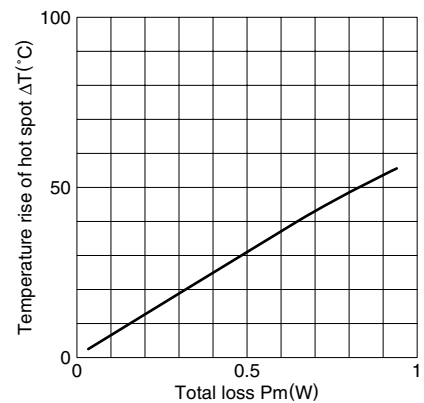
Note: このグラフに示されている限界線は、磁束に対する励磁電流の変化が直線である部分を延長し、それが20%および40%はずれた時の磁界の強さとAL-valueの関係を表わします。

AL-value vs. エアギャップ長 (代表例) PC47EE13 コア

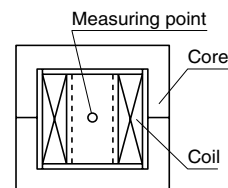


測定条件
 • コイル : ø0.18 2UEW 100Ts
 • 周波数 : 1kHz
 • 電流 : 0.5mA

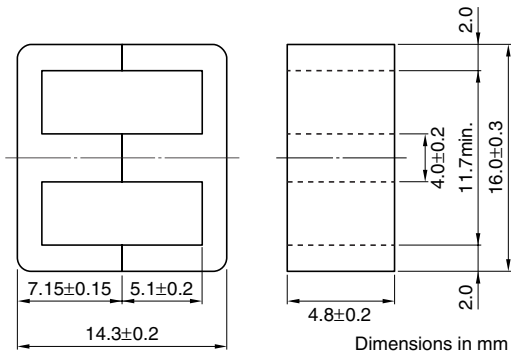
温度上昇 vs. トータルロス特性 (代表例) EE13 コア



Note: 温度上昇データは、広さ約400x300x300cmの恒温恒湿(25°C、45%(%)RH.)の室内で測定しました。



EEシリーズ EE16コア



パラメータ

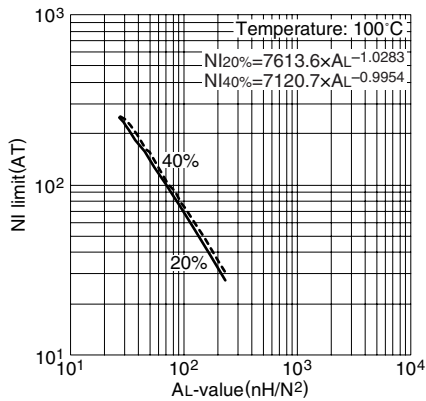
コア定数	C1	mm ⁻¹	1.82
実効磁路長	l_e	mm	34.5
実効断面積	Ae	mm ²	19.0
実効体積	Ve	mm ³	656
中脚断面積	Acp	mm ²	19.2
最小中脚断面積	Acp min.	mm ²	17.5
巻線断面積	Acw	mm ²	41.4
質量 (組)	g		3.3

品名	AL-value (nH/N ²)	コアロス(W) at 100°C 100kHz, 200mT	設計例 (フォワードコンバータ方式)
PC47EE16-Z	1140±25% (1kHz, 0.5mA)*	0.28 max.	32W (100kHz)

* コイル : $\phi 0.18$ 2UEW 100Ts

NI limit vs. AL-value (代表例)

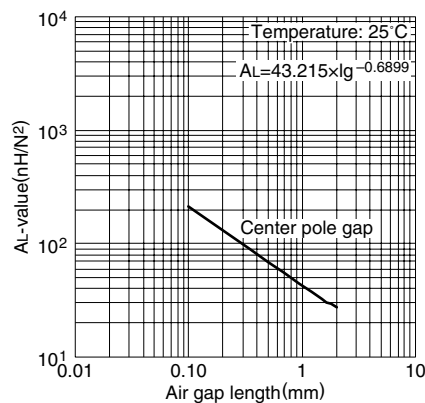
PC47EE16 コア (ギャップ付)



Note: このグラフに示されている限界線は、磁束に対する励磁電流の変化が直線である部分を延長し、それが20%および40%はずれた時の磁界の強さとAL-valueの関係を表わします。

AL-value vs. エアギャップ長 (代表例)

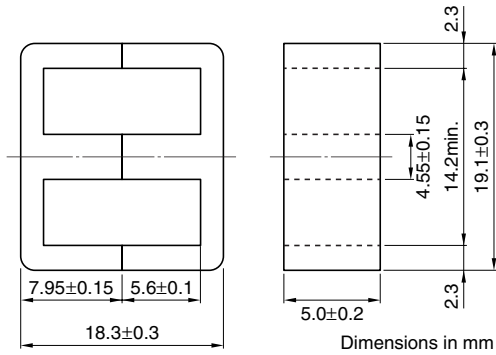
PC47EE16 コア



測定条件

- コイル : $\phi 0.18$ 2UEW 100Ts
- 周波数 : 1kHz
- 電流 : 0.5mA

EEシリーズ EE19 コア



パラメータ

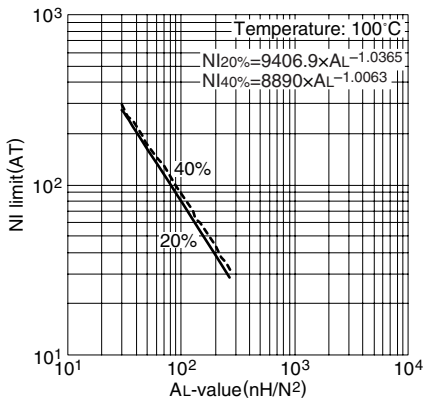
コア定数	C1	mm ⁻¹	1.71
実効磁路長	ℓ_e	mm	39.4
実効断面積	Ae	mm ²	23.0
実効体積	Ve	mm ³	906
中脚断面積	Acp	mm ²	22.8
最小中脚断面積	Acp min.	mm ²	21.1
巻線断面積	Acw	mm ²	55.8
質量 (組)	g		4.8

品名	AL-value (nH/N ²)	コアロス(W) at 100°C 100kHz, 200mT	設計例 (フォワードコンバータ方式)
PC47EE19-Z	1250±25% (1kHz, 0.5mA)*	0.39	45W (100kHz)

* コイル : $\phi 0.18$ 2UEW 100Ts

NI limit vs. AL-value (代表例)

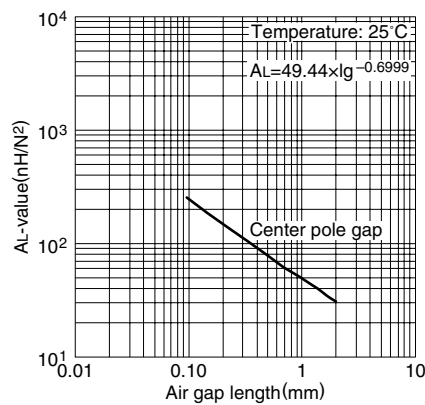
PC47EE19 コア (ギャップ付)



Note: このグラフに示されている限界線は、磁束に対する励磁電流の変化が直線である部分を延長し、それが20%および40%はずれた時の磁界の強さとAL-valueの関係を表わします。

AL-value vs. エアギャップ長 (代表例)

PC47EE19 コア

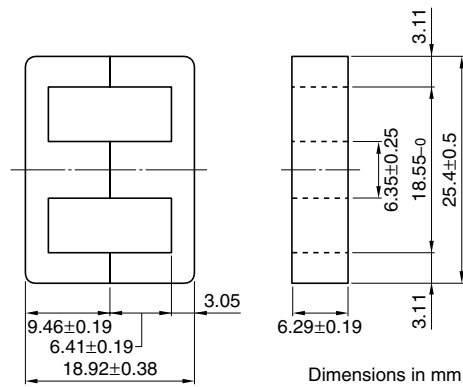


測定条件

- コイル : $\phi 0.18$ 2UEW 100Ts
- 周波数 : 1kHz
- 電流 : 0.5mA

EEシリーズ EE25/19 コア

標準 U. S. ラミネートコアサイズに基づきます。



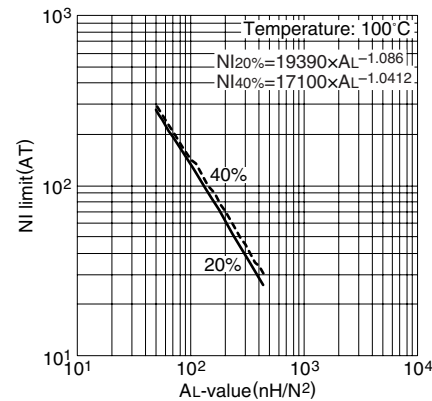
パラメータ

コア定数	C1	mm ⁻¹	1.22
実効磁路長	ℓ _e	mm	48.7
実効断面積	A _e	mm ²	40.0
実効体積	V _e	mm ³	1950
中脚断面積	A _{cp}	mm ²	39.9
最小中脚断面積	A _{cp min.}	mm ²	37.2
巻線断面積	A _{cw}	mm ²	79.0
質量 (組)	g		9.1

品名	AL-value (nH/N ²)	コアロス(W) at 100°C 100kHz, 200mT	設計例 (フォワードコンバータ方式)
PC47EE25/19-Z	2000±25% (1kHz, 0.5mA)* 2570 min. (100kHz, 200mT)	0.80 max.	93W (100kHz)

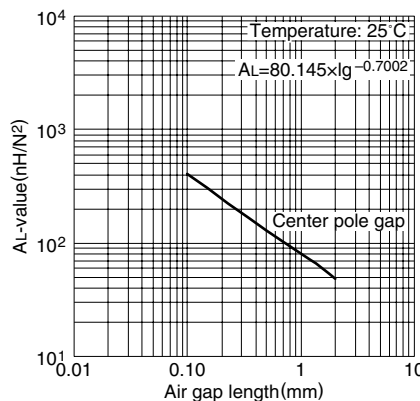
* コイル : ø0.23 2UEW 100Ts

NI limit vs. AL-value (代表例) PC47EE25/19 コア (ギャップ付)



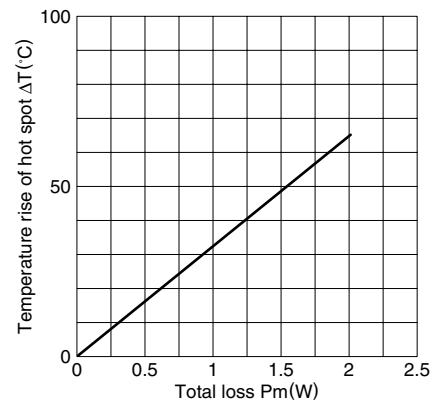
Note: このグラフに示されている限界線は、磁束に対する励磁電流の変化が直線である部分を延長し、それが20%および40%はずれた時の磁界の強さとAL-valueの関係を表わします。

AL-value vs. エアギャップ長 (代表例) PC47EE25/19 コア

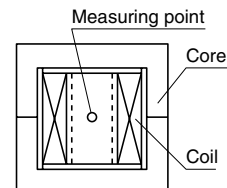


測定条件
 • コイル : ø0.23 2UEW 100Ts
 • 周波数 : 1kHz
 • 電流 : 0.5mA

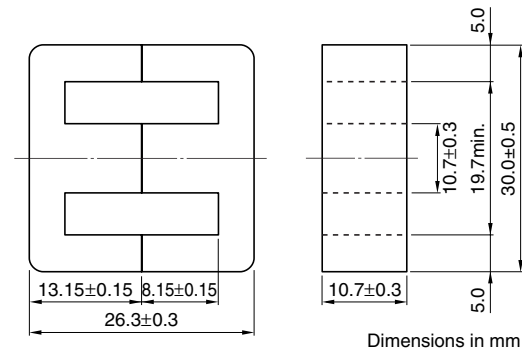
温度上昇 vs. トータルロス特性 (代表例) EE25/19 コア



Note: 温度上昇データは、広さ約400x300x300cmの恒温恒湿(25°C、45%(%)RH.)の室内で測定しました。



EEシリーズ EE30コア (DIN 41295)



パラメータ

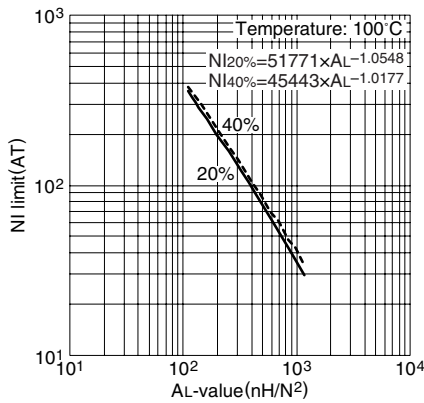
コア定数	C1	mm ⁻¹	0.529
実効磁路長	ℓ _e	mm	57.7
実効断面積	A _e	mm ²	109.0
実効体積	V _e	mm ³	6290
中脚断面積	A _{cp}	mm ²	114
最小中脚断面積	A _{cp min.}	mm ²	108
巻線断面積	A _{cw}	mm ²	75.8
質量 (組)	g		32

品名	AL-value (nH/N ²)	コアロス(W) at 100°C 100kHz, 200mT	設計例 (フォワードコンバータ方式)
PC47EE30-Z	4690±25% (1kHz, 0.5mA)*	2.03 max.	203W (100kHz)

* コイル : ø0.35 2UEW 100Ts

NI limit vs. AL-value (代表例)

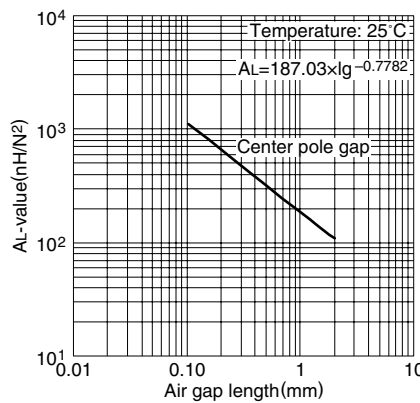
PC47EE30 コア (ギャップ付)



Note: このグラフに示されている限界線は、磁束に対する励磁電流の変化が直線である部分を延長し、それが20%および40%はずれた時の磁界の強さとAL-valueの関係を表わします。

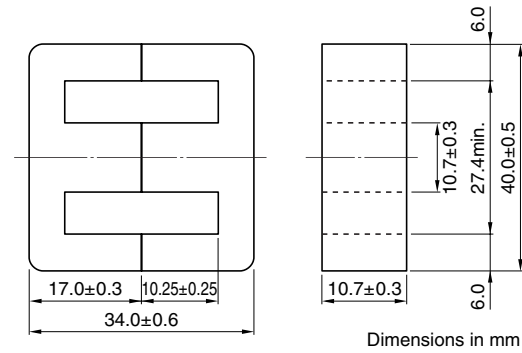
AL-value vs. エアギャップ長 (代表例)

PC47EE30 コア



測定条件
 • コイル : ø0.35 2UEW 100Ts
 • 周波数 : 1kHz
 • 電流 : 0.5mA

EEシリーズ EE40 コア



パラメータ

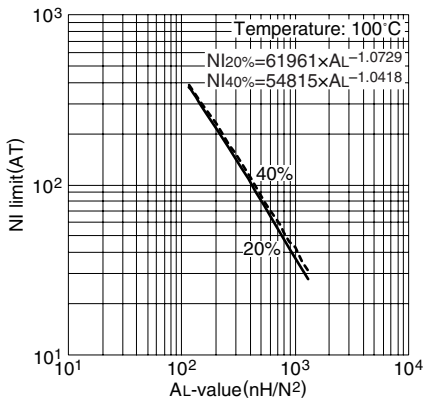
コア定数	C1	mm ⁻¹	0.606
実効磁路長	ℓ_e	mm	77.3
実効断面積	Ae	mm ²	128
実効体積	Ve	mm ³	9890
中脚断面積	Acp	mm ²	114
最小中脚断面積	Acp min.	mm ²	108
巻線断面積	Acw	mm ²	164
質量 (組)	g		50

品名	AL-value (nH/N ²)	コアロス(W) at 100°C 100kHz, 200mT	設計例 (フォワードコンバータ方式)
PC47EE40-Z	4150±25% (1kHz, 0.5mA)*	3.1 max.	311W (100kHz)

* コイル : $\phi 0.18$ 2UEW 100Ts

NI limit vs. AL-value (代表例)

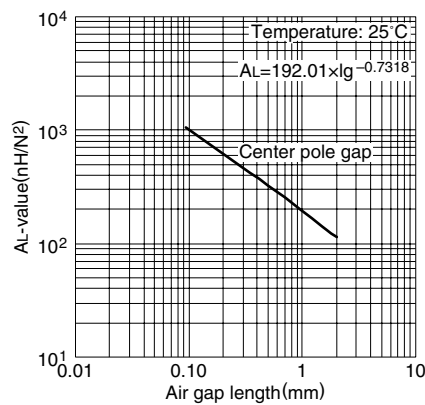
PC47EE40 コア (ギャップ付)



Note: このグラフに示されている限界線は、磁束に対する励磁電流の変化が直線である部分を延長し、それが20%および40%はずれた時の磁界の強さとAL-valueの関係を表わします。

AL-value vs. エアギャップ長 (代表例)

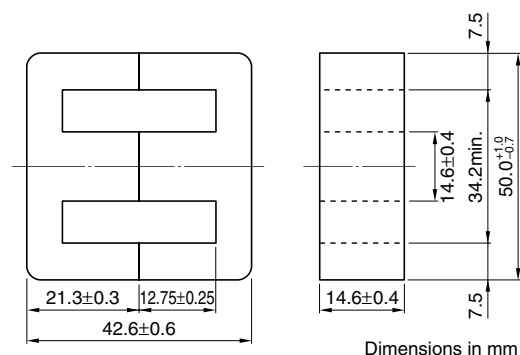
PC47EE40 コア



測定条件

- コイル : $\phi 0.18$ 2UEW 100Ts
- 周波数 : 1kHz
- 電流 : 0.5mA

EEシリーズ EE50 コア



パラメータ

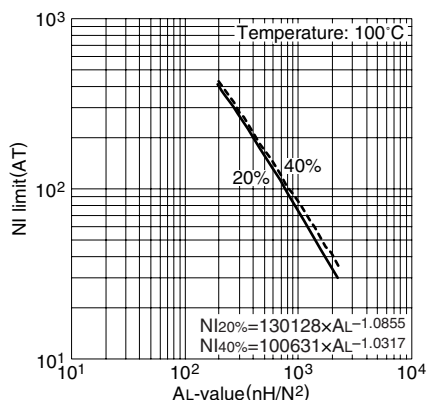
コア定数	C1	mm ⁻¹	0.425
実効磁路長	ℓ _e	mm	95.8
実効断面積	A _e	mm ²	226
実効体積	V _e	mm ³	21600
中脚断面積	A _{cp}	mm ²	213
最小中脚断面積	A _{cp min.}	mm ²	202
巻線断面積	A _{cw}	mm ²	262
質量 (組)	g		116

品名	AL-value (nH/N ²)	コアロス(W) at 100°C 100kHz, 200mT	設計例 (フォワードコンバータ方式)
PC47EE50-Z	6110±25% (1kHz, 0.5mA)*	8.78 max.	556W (100kHz)

* コイル : ø0.18 2UEW 100Ts

NI limit vs. AL-value (代表例)

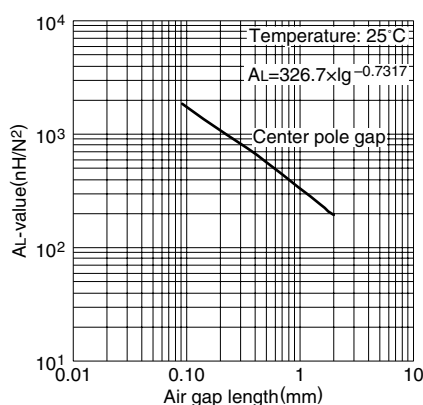
PC47EE50 コア (ギャップ付)



Note: このグラフに示されている限界線は、磁束に対する励磁電流の変化が直線である部分を延長し、それが20%および40%はずれた時の磁界の強さとAL-valueの関係を表わします。

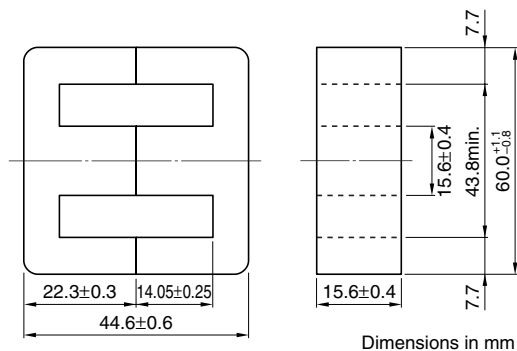
AL-value vs. エアギャップ長 (代表例)

PC47EE50 コア



測定条件
 • コイル : ø0.18 2UEW 100Ts
 • 周波数 : 1kHz
 • 電流 : 0.5mA

EEシリーズ EE60 コア



パラメータ

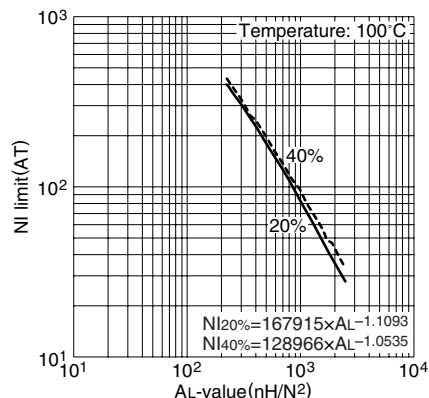
コア定数	C1	mm ⁻¹	0.446
実効磁路長	l_e	mm	110
実効断面積	Ae	mm ²	247
実効体積	Ve	mm ³	27100
中脚断面積	Acp	mm ²	243
最小中脚断面積	Acp min.	mm ²	231
巻線断面積	Acw	mm ²	407
質量 (組)	g		135

品名	AL-value (nH/N ²)	コアロス(W) at 100°C 100kHz, 200mT	設計例 (フォワードコンバータ方式)
PC47EE60-Z	5670±25% (1kHz, 0.5mA)*	11.35 max.	713W (100kHz)

* コイル : ø0.18 2UEW 100Ts

NI limit vs. AL-value (代表例)

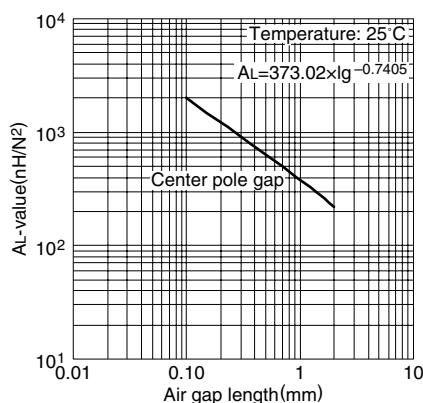
PC47EE60 コア (ギャップ付)



Note: このグラフに示されている限界線は、磁束に対する励磁電流の変化が直線である部分を延長し、それが20%および40%はずれた時の磁界の強さとAL-valueの関係を表わします。

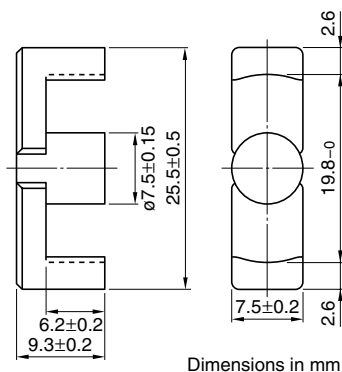
AL-value vs. エアギャップ長 (代表例)

PC47EE60 コア



測定条件
 • コイル : ø0.18 2UEW 100Ts
 • 周波数 : 1kHz
 • 電流 : 0.5mA

EERシリーズ EER25.5 コア (JIS FEER 25.5A)



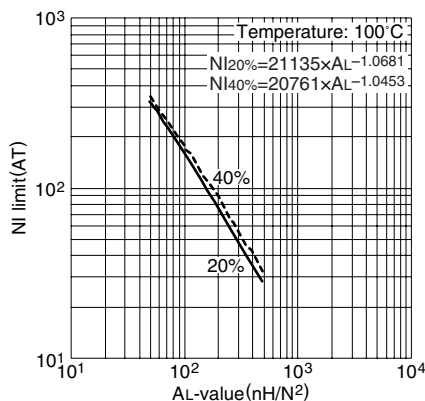
パラメータ

コア定数	C1	mm ⁻¹	1.08
実効磁路長	ℓ _e	mm	48.2
実効断面積	A _e	mm ²	44.8
実効体積	V _e	mm ³	2160
中脚断面積	A _{cp}	mm ²	44.2
最小中脚断面積	A _{cp min.}	mm ²	42.4
巻線断面積	A _{cw}	mm ²	79.4
質量 (組)	g		11

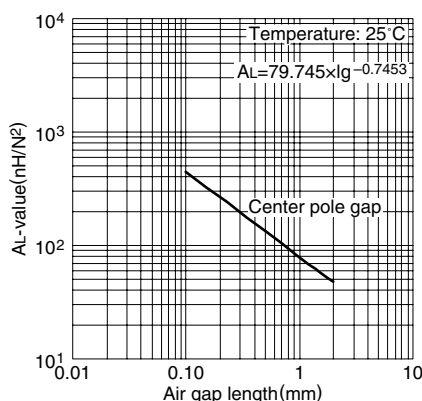
品名	AL-value (nH/N ²)	コアロス(W) 100kHz, 200mT	設計例 (フォワードコンバータ方式)
PC47EER25.5-Z	1920±25% (1kHz, 0.5mA)* 2910 min. (100kHz, 200mT)	0.75 max.(100°C)	112W (100kHz)
PC95EER25.5-Z	1920±25% (1kHz, 0.5mA)* 2700±25%	1.1/0.9/1.1(25°C/80°C/120°C)	96W (100kHz)

* コイル : ø0.35 2UEW 100Ts

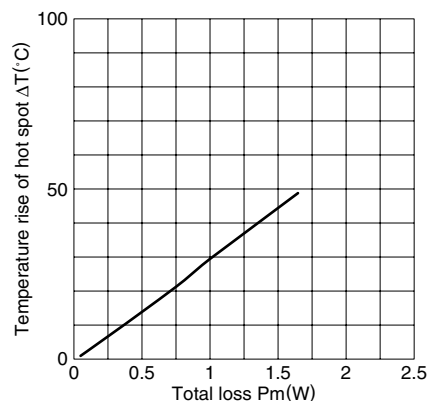
NI limit vs. AL-value (代表例) PC47EER25.5 コア (ギャップ付)



AL-value vs. エアギャップ長 (代表例) PC47EER25.5 コア

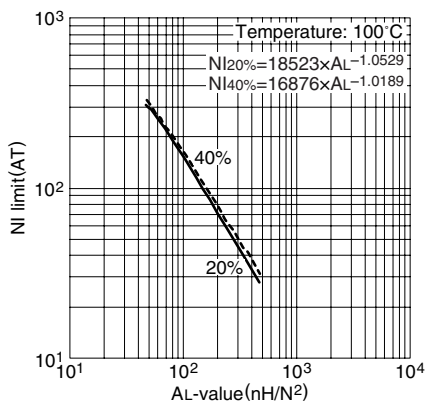


温度上昇 vs. トータルロス特性 (代表例) EER25.5 コア

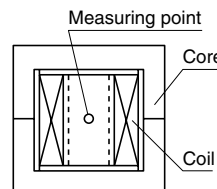
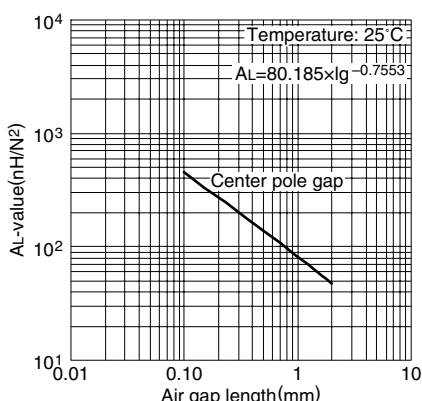


Note: 温度上昇データは、広さ約400x300x300cmの恒温恒湿(25°C、45%(%)RH.)の室内で測定しました。

NI limit vs. AL-value (代表例) PC95EER25.5 コア (ギャップ付)



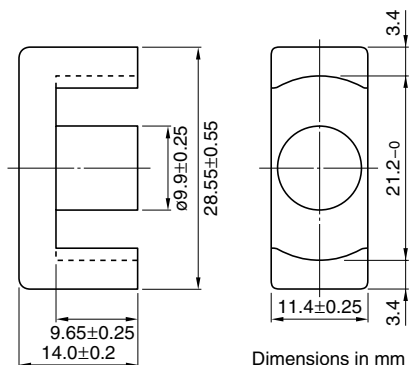
AL-value vs. エアギャップ長 (代表例) PC95EER25.5 コア



Note: このグラフに示されている限界線は、磁束に対する励磁電流の変化が直線である部分を延長し、それが20%および40%はずれた時の磁界の強さとAL-valueの関係を表わします。

- 測定条件
- コイル : ø0.35 2UEW 100Ts
 - 周波数 : 1kHz
 - 電流 : 0.5mA

EERシリーズ EER28 コア (JIS FEER 28.5A)



Dimensions in mm

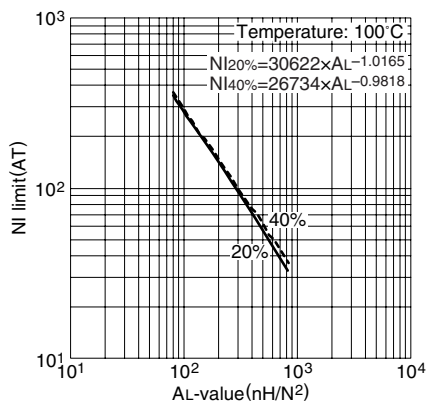
パラメータ

コア定数	C1	mm ⁻¹	0.78
実効磁路長	l_e	mm	64.0
実効断面積	Ae	mm ²	82.1
実効体積	Ve	mm ³	5250
中脚断面積	Acp	mm ²	77.0
最小中脚断面積	Acp min.	mm ²	73.1
巻線断面積	Acw	mm ²	114
質量 (組)	g		28

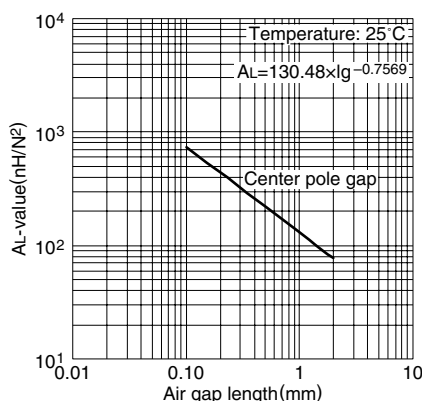
品名	AL-value (nH/N ²)	コアロス(W) 100kHz, 200mT	設計例 (フォワードコンバータ方式)
PC47EER28-Z	2870±25% (1kHz, 0.5mA)* 4350 min. (100kHz, 200mT)	1.72 max.(100°C)	233W (100kHz)
PC95EER28-Z	2870±25% (1kHz, 0.5mA)* 4000±25%	2.45/2.1/2.45(25°C/80°C/120°C)	223W (100kHz)

* コイル : $\phi 0.35$ 2UEW 100Ts

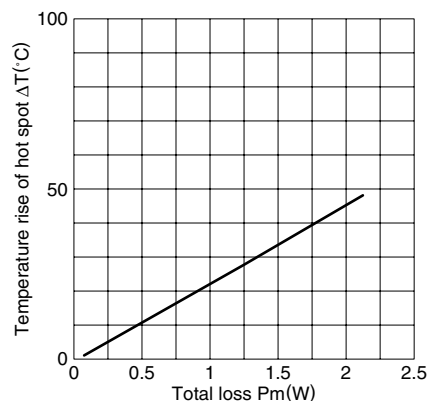
NI limit vs. AL-value (代表例)
PC47EER28 コア (ギャップ付)



AL-value vs. エアギャップ長 (代表例)
PC47EER28 コア

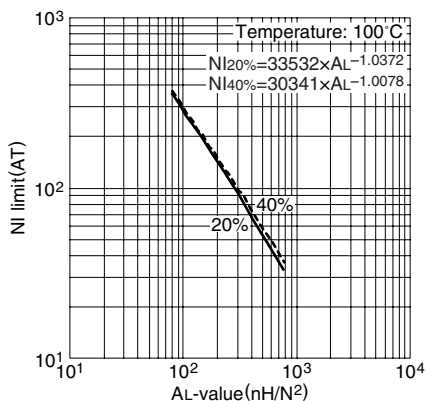


温度上昇 vs. トータルロス特性 (代表例)
EER28 コア

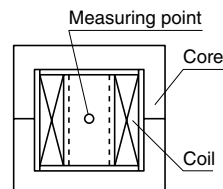
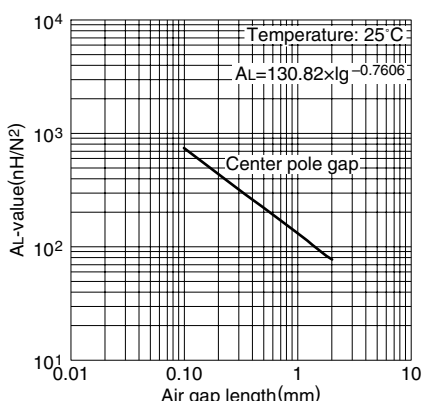


Note: 温度上昇データは、広さ約400x300x300cmの恒温恒湿(25°C, 45%(RH.))の室内で測定しました。

NI limit vs. AL-value (代表例)
PC95EER28 コア (ギャップ付)



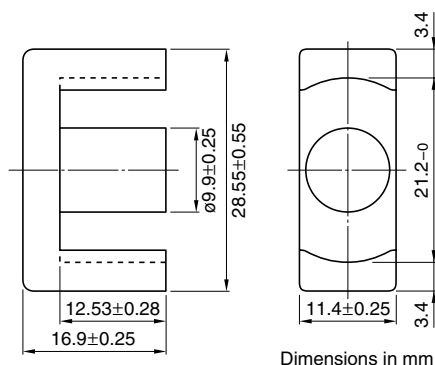
AL-value vs. エアギャップ長 (代表例)
PC95EER28 コア



Note: このグラフに示されている限界線は、磁束に対する励磁電流の変化が直線である部分を延長し、それが20%および40%はずれた時の磁界の強さとAL-valueの関係を表わします。

- 測定条件
- コイル : $\phi 0.35$ 2UEW 100Ts
 - 周波数 : 1kHz
 - 電流 : 0.5mA

EERシリーズ EER28Lコア (JIS FEER 28.5B)



Dimensions in mm

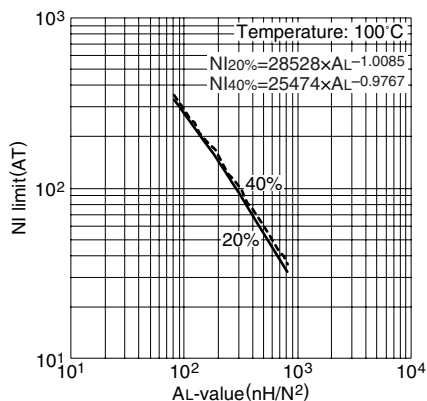
パラメータ

コア定数	C1	mm ⁻¹	0.928
実効磁路長	ℓ _e	mm	75.5
実効断面積	A _e	mm ²	81.4
実効体積	V _e	mm ³	6150
中脚断面積	A _{cp}	mm ²	77.0
最小中脚断面積	A _{cp min.}	mm ²	73.1
巻線断面積	A _{cw}	mm ²	148
質量 (組)		g	33

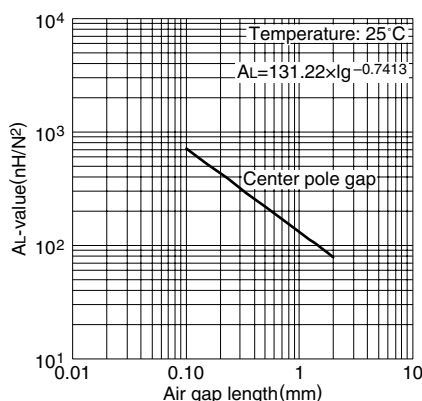
品名	AL-value (nH/N ²)	コアロス(W) 100kHz, 200mT	設計例 (フォワードコンバータ方式)
PC47EER28L-Z	2520±25% (1kHz, 0.5mA)* 3660 min. (100kHz, 200mT)	2.03 max.(100°C)	267W (100kHz)
PC95EER28L-Z	2520±25% (1kHz, 0.5mA)* 3500±25%	2.9/2.45/2.9(25°C/80°C/120°C)	250W (100kHz)

* コイル : ø0.35 2UEW 100Ts

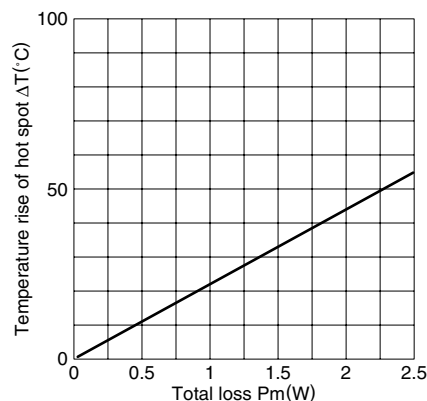
NI limit vs. AL-value (代表例) PC47EER28L コア (ギャップ付)



AL-value vs. エアギャップ長 (代表例) PC47EER28L コア

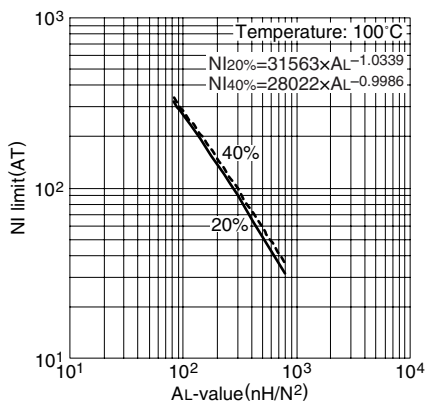


温度上昇 vs. トータルロス特性 (代表例) EER28L コア

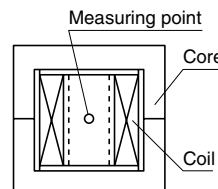
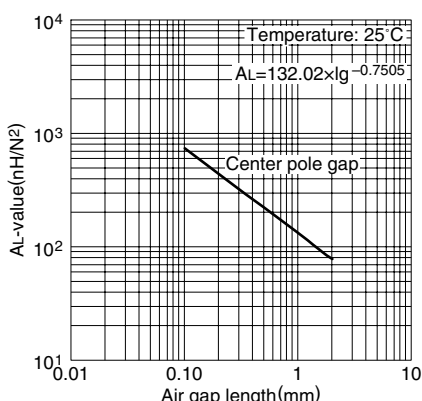


Note: 温度上昇データは、広さ約400x300x300cmの恒温恒湿(25°C, 45%(RH.))の室内で測定しました。

NI limit vs. AL-value (代表例) PC95EER28L コア (ギャップ付)



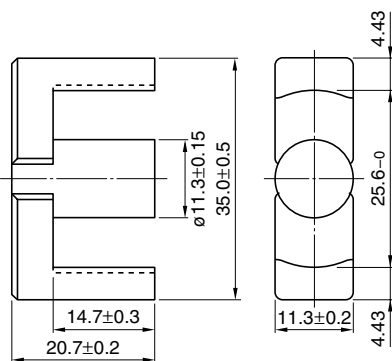
AL-value vs. エアギャップ長 (代表例) PC95EER28L コア



Note: このグラフに示されている限界線は、磁束に対する励磁電流の変化が直線である部分を延長し、それが20%および40%はずれた時の磁界の強さとAL-valueの関係を表わします。

- 測定条件
- コイル : ø0.35 2UEW 100Ts
 - 周波数 : 1kHz
 - 電流 : 0.5mA

EERシリーズ EER35 コア (JIS FEER 35A)



Dimensions in mm

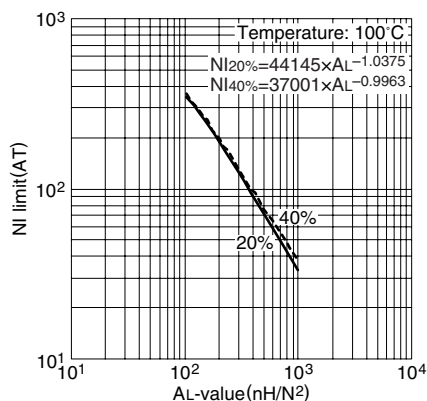
パラメータ

コア定数	C1	mm ⁻¹	0.849
実効磁路長	l_e	mm	90.8
実効断面積	Ae	mm ²	107
実効体積	Ve	mm ³	9720
中脚断面積	Acp	mm ²	100
最小中脚断面積	Acp min.	mm ²	97.6
巻線断面積	Acw	mm ²	218
質量 (組)		g	52

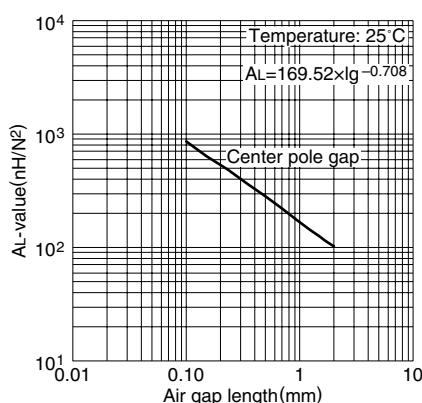
品名	AL-value (nH/N ²)	コアロス(W) 100kHz, 200mT	設計例 (フォワードコンバータ方式)
PC47EER35-Z	2770±25% (1kHz, 0.5mA)* 4000 min. (100kHz, 200mT)	3.18 max.(100°C)	376W (100kHz)
PC95EER35-Z	2770±25% (1kHz, 0.5mA)* 4000±25%	4.55/3.8/4.55(25°C/80°C/120°C)	336W (100kHz)

* コイル : $\phi 0.35$ 2UEW 100Ts

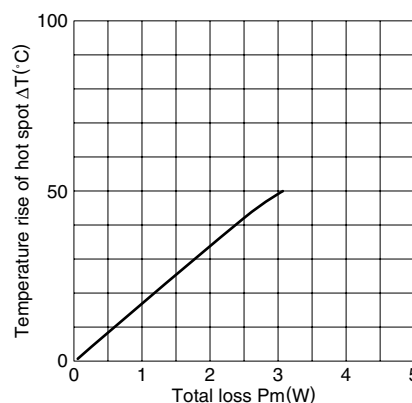
NI limit vs. AL-value (代表例)
PC47EER35 コア (ギャップ付)



AL-value vs. エアギャップ長 (代表例)
PC47EER35 コア

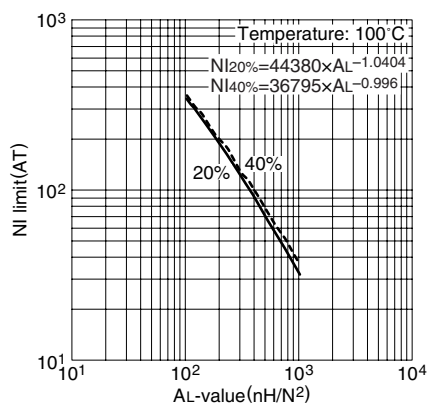


温度上昇 vs. トータルロス特性 (代表例)
EER35 コア

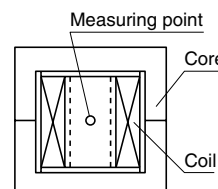
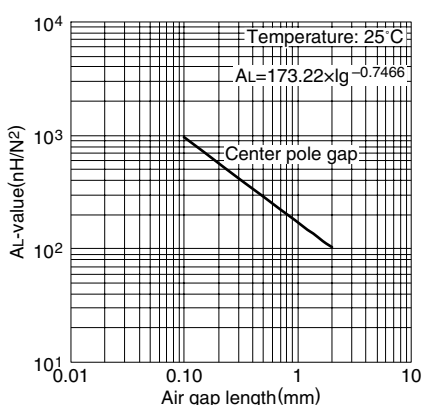


Note: 温度上昇データは、広さ約400x300x300cmの恒温恒湿(25°C、45%(%)RH.)の室内で測定しました。

NI limit vs. AL-value (代表例)
PC95EER35 コア (ギャップ付)



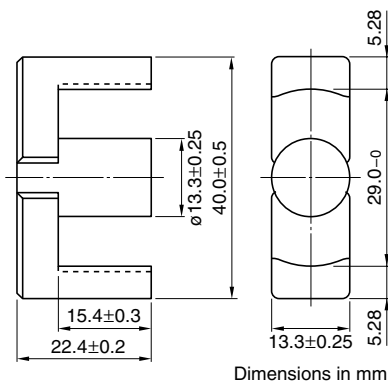
AL-value vs. エアギャップ長 (代表例)
PC95EER35 コア



Note: このグラフに示されている限界線は、磁束に対する励磁電流の変化が直線である部分を延長し、それが20%および40%はずれた時の磁界の強さとAL-valueの関係を表わします。

- 測定条件
- コイル : $\phi 0.35$ 2UEW 100Ts
 - 周波数 : 1kHz
 - 電流 : 0.5mA

EERシリーズ EER40 コア



Dimensions in mm

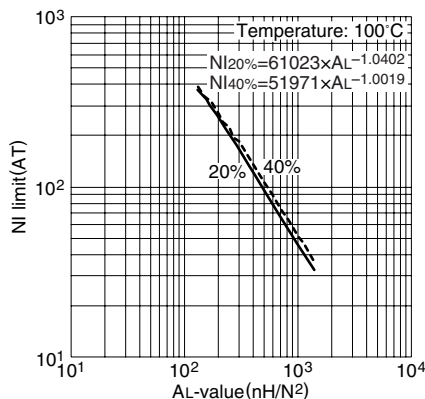
パラメータ

コア定数	C1	mm ⁻¹	0.658
実効磁路長	l_e	mm	98.0
実効断面積	Ae	mm ²	149
実効体積	Ve	mm ³	14600
中脚断面積	Acp	mm ²	139
最小中脚断面積	Acp min.	mm ²	134
巻線断面積	Acw	mm ²	249
質量 (組)	g		78

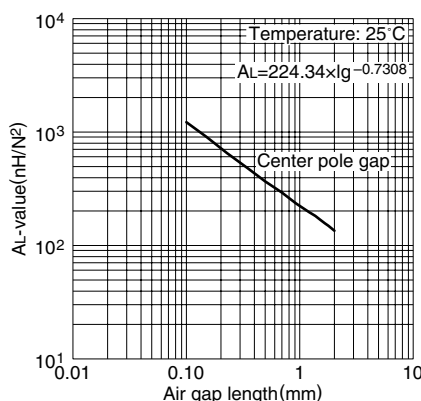
品名	AL-value (nH/N ²)	コアロス(W) 100kHz, 200mT	設計例 (フォワードコンバータ方式)
PC47EER40-Z	3620±25% (1kHz, 0.5mA)* 5160 min. (100kHz, 200mT)	4.77 max.(100°C)	484W (100kHz)
PC95EER40-Z	3620±25% (1kHz, 0.5mA)* 5200±25%	6.8/5.7/6.8(25°C/80°C/120°C)	446W (100kHz)

* コイル : $\phi 0.35$ 2UEW 100Ts

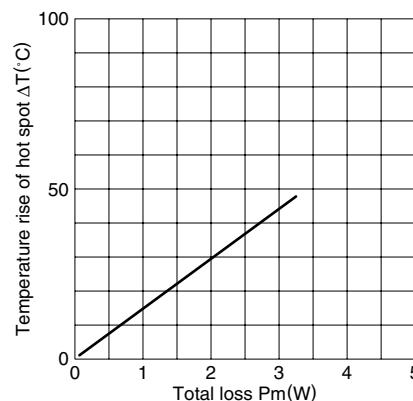
NI limit vs. AL-value (代表例)
PC47EER40 コア (ギャップ付)



AL-value vs. エアギャップ長 (代表例)
PC47EER40 コア

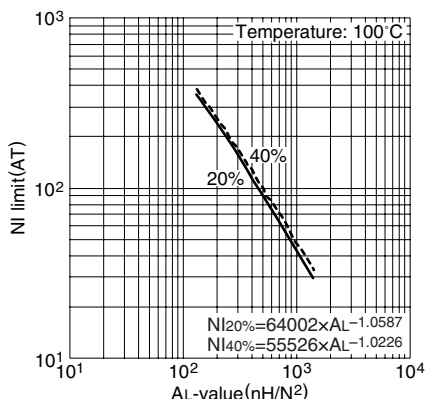


温度上昇 vs. トータルロス特性 (代表例)
EER40 コア

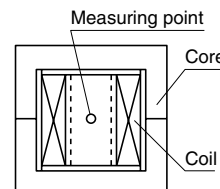
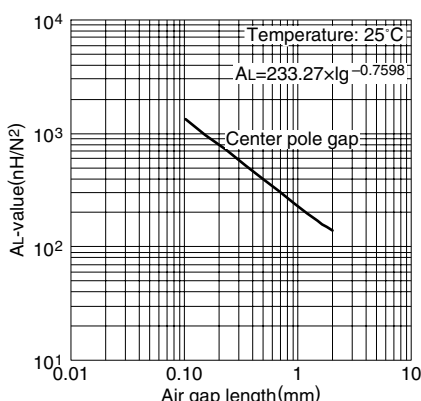


Note: 温度上昇データは、広さ約400x300x300cmの恒温恒湿(25°C、45%(RH.))の室内で測定しました。

NI limit vs. AL-value (代表例)
PC95EER40 コア (ギャップ付)



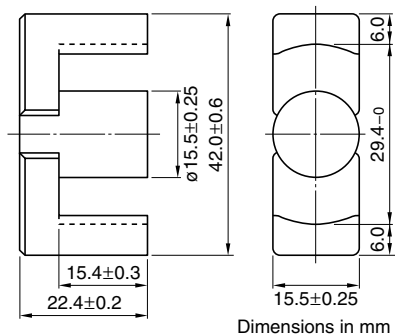
AL-value vs. エアギャップ長 (代表例)
PC95EER40 コア



Note: このグラフに示されている限界線は、磁束に対する励磁電流の変化が直線である部分を延長し、それが20%および40%はずれた時の磁界の強さとAL-valueの関係を表わします。

- 測定条件
- コイル : $\phi 0.35$ 2UEW 100Ts
 - 周波数 : 1kHz
 - 電流 : 0.5mA

EERシリーズ EER42 コア (JIS FEER 42)



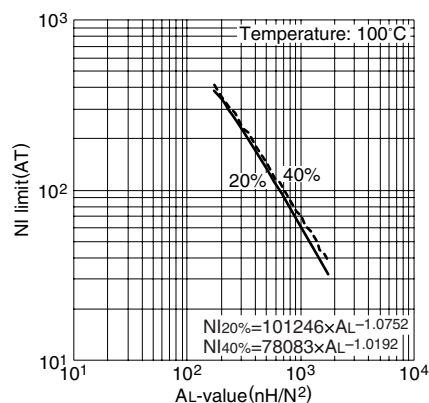
パラメータ

コア定数	C1	mm ⁻¹	0.509
実効磁路長	ℓ _e	mm	98.8
実効断面積	A _e	mm ²	194
実効体積	V _e	mm ³	19200
中脚断面積	A _{cp}	mm ²	187
最小中脚断面積	A _{cp min.}	mm ²	183
巻線断面積	A _{cw}	mm ²	223
質量 (組)		g	102

品名	AL-value (nH/N ²)	コアロス(W) at 100°C 100kHz, 200mT	設計例 (フォワードコンバータ方式)
PC47EER42-Z	4690±25% (1kHz, 0.5mA)* 6670 min. (100kHz, 200mT)	6.47 max.	540W (100kHz)

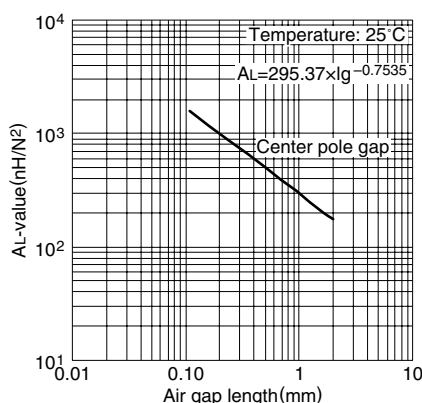
* コイル : ø0.35 2UEW 100Ts

NI limit vs. AL-value (代表例) PC47EER42 コア (ギャップ付)



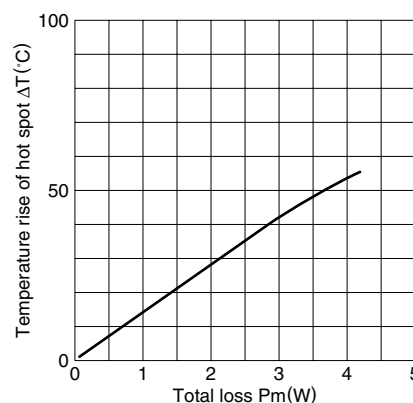
Note: このグラフに示されている限界線は、磁束に対する励磁電流の変化が直線である部分を延長し、それが20%および40%はずれた時の磁界の強さとAL-valueの関係を表わします。

AL-value vs. エアギャップ長 (代表例) PC47EER42 コア

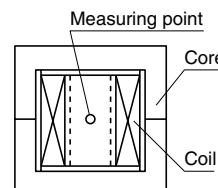


測定条件
 • コイル : ø0.35 2UEW 100Ts
 • 周波数 : 1kHz
 • 電流 : 0.5mA

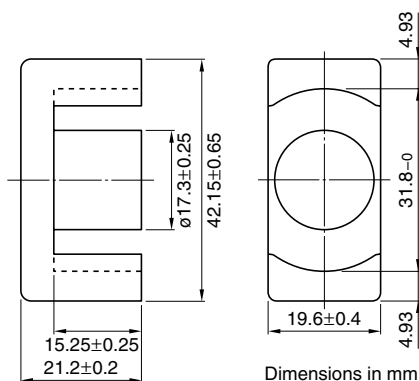
温度上昇 vs. トータルロス特性 (代表例) EER42 コア



Note: 温度上昇データは、広さ約400x300x300cmの恒温恒湿(25°C、45%RH.)の室内で測定しました。



EERシリーズ EER42/42/20 コア



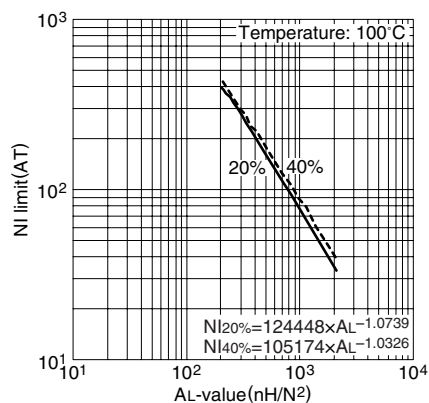
パラメータ

コア定数	C1	mm ⁻¹	0.411
実効磁路長	ℓ _e	mm	98.6
実効断面積	A _e	mm ²	240
実効体積	V _e	mm ³	23700
中脚断面積	A _{cp}	mm ²	235
最小中脚断面積	A _{cp min.}	mm ²	228
巻線断面積	A _{cw}	mm ²	229
質量 (組)	g		116

品名	AL-value (nH/N ²)	コアロス(W) at 100°C 100kHz, 200mT	設計例 (フォワードコンバータ方式)
PC47EER42/42/20-Z	5340±25% (1kHz, 0.5mA)* 8260 min. (100kHz, 200mT)	9.96 max.	647W (100kHz)

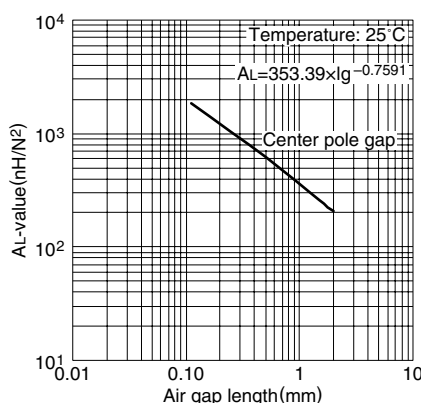
* コイル : ø0.35 2UEW 100Ts

NI limit vs. AL-value (代表例) PC47EER42/42/20 コア (ギャップ付)



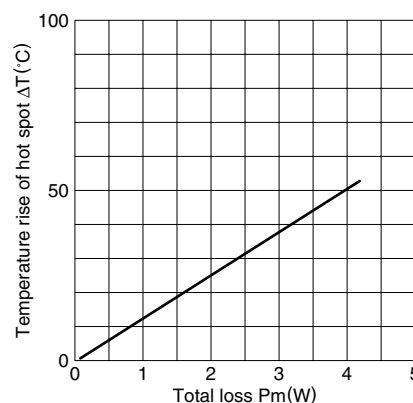
Note: このグラフに示されている限界線は、磁束に対する励磁電流の変化が直線である部分を延長し、それが20%および40%はずれた時の磁界の強さとAL-valueの関係を表わします。

AL-value vs. エアギャップ長 (代表例) PC47EER42/42/20 コア

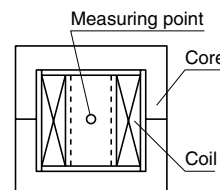


測定条件
 • コイル : ø0.35 2UEW 100Ts
 • 周波数 : 1kHz
 • 電流 : 0.5mA

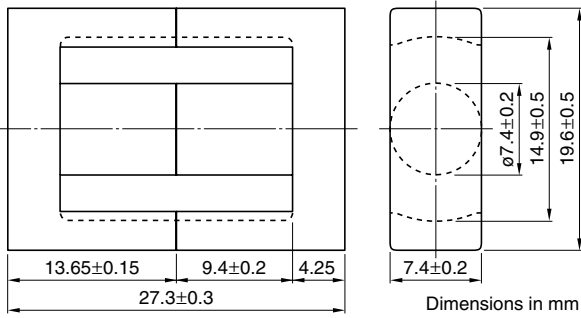
温度上昇 vs. トータルロス特性 (代表例) EER42/42/20 コア



Note: 温度上昇データは、広さ約400x300x300cmの恒温恒湿(25°C、45%RH.)の室内で測定しました。



ETDシリーズ ETD19コア



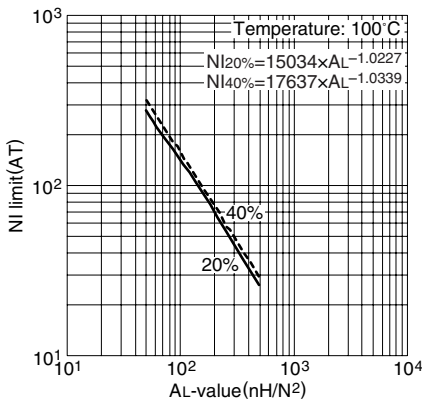
パラメータ

コア定数	C1	mm ⁻¹	1.32
実効磁路長	ℓ _e	mm	54.6
実効断面積	A _e	mm ²	41.3
実効体積	V _e	mm ³	2260
中脚断面積	A _{cp}	mm ²	43
最小中脚断面積	A _{cp min.}	mm ²	40.7
巻線断面積	A _{cw}	mm ²	70.5
質量 (組)		g	13.3

品名	AL-value (nH/N ²)	コアロス(W) at 100°C 100kHz, 200mT	設計例 (フォワードコンバータ方式)
PC47ETD19-Z	1720±25% (1kHz, 0.5mA)* 2380 min. (100kHz, 200mT)	1.01 max.	114W (100kHz)

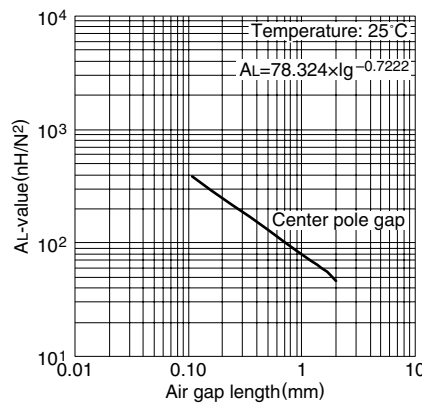
* コイル : ø0.35 2UEW 100Ts

NI limit vs. AL-value (代表例) PC47ETD19 コア (ギャップ付)



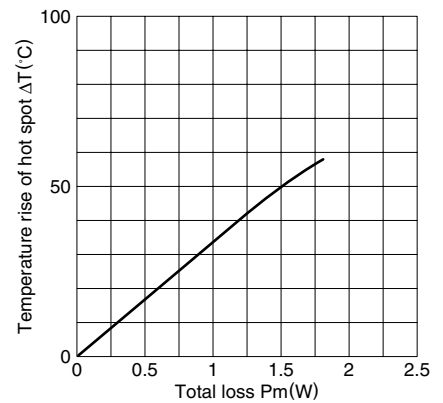
Note: このグラフに示されている限界線は、磁束に対する励磁電流の変化が直線である部分を延長し、それが20%および40%はずれた時の磁界の強さとAL-valueの関係を表わします。

AL-value vs. エアギャップ長 (代表例) PC47ETD19 コア

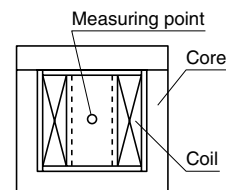


測定条件
 • コイル : ø0.35 2UEW 100Ts
 • 周波数 : 1kHz
 • 電流 : 0.5mA

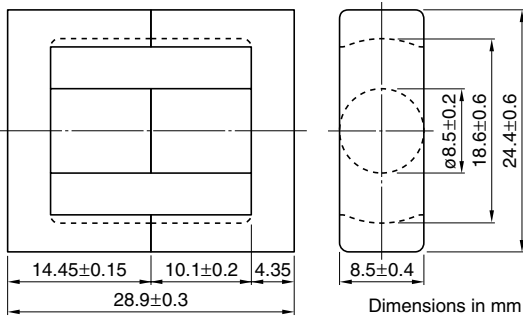
温度上昇 vs. トータルロス特性 (代表例) ETD19 コア



Note: 温度上昇データは、広さ約400x300x300cmの恒温恒湿(25°C, 45%(%)RH.)の室内で測定しました。



ETDシリーズ ETD24 コア



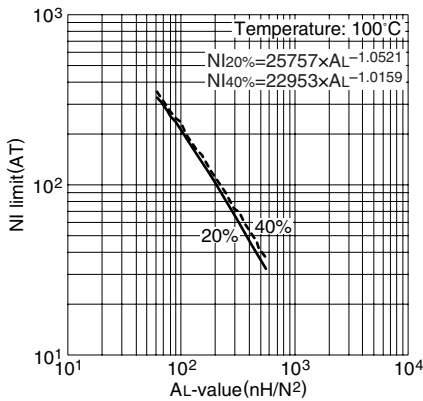
パラメータ

コア定数	C1	mm ⁻¹	1.10
実効磁路長	ℓ _e	mm	61.9
実効断面積	A _e	mm ²	56.3
実効体積	V _e	mm ³	3480
中脚断面積	A _{cp}	mm ²	56.7
最小中脚断面積	A _{cp min.}	mm ²	54.1
巻線断面積	A _{cw}	mm ²	102
質量 (組)	g		19.5

品名	AL-value (nH/N ²)	コアロス(W) at 100°C 100kHz, 200mT	設計例 (フォワードコンバータ方式)
PC47ETD24-Z	2125±25% (1kHz, 0.5mA)* 2860 min. (100kHz, 200mT)	1.51 max.	131W (100kHz)

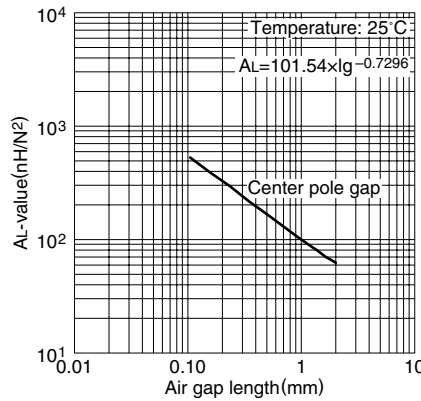
* コイル : ø0.35 2UEW 100Ts

NI limit vs. AL-value (代表例)
PC47ETD24 コア (ギャップ付)



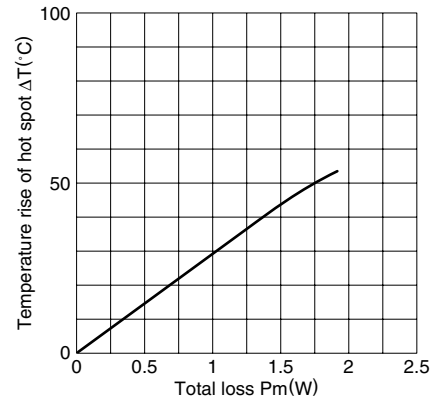
Note: このグラフに示されている限界線は、磁束に対する励磁電流の変化が直線である部分を延長し、それが20%および40%はずれた時の磁界の強さとAL-valueの関係を表わします。

AL-value vs. エアギャップ長 (代表例)
PC47ETD24 コア

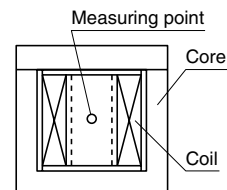


測定条件
 • コイル : ø0.35 2UEW 100Ts
 • 周波数 : 1kHz
 • 電流 : 0.5mA

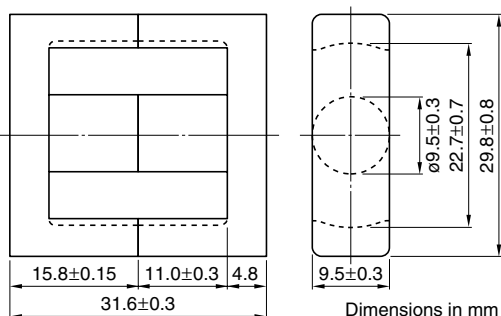
温度上昇 vs. トータルロス特性 (代表例)
ETD24 コア



Note: 温度上昇データは、広さ約400x300x300cmの恒温恒湿(25°C、45%RH.)の室内で測定しました。



ETDシリーズ ETD29 コア



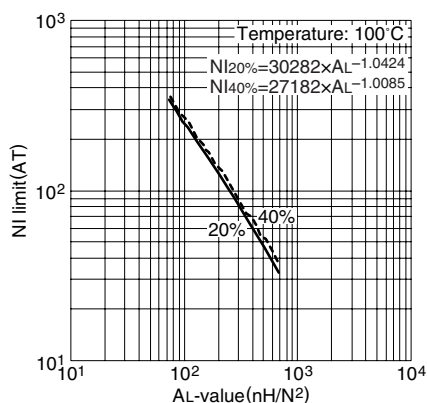
パラメータ

コア定数	C1	mm ⁻¹	0.959
実効磁路長	ℓ _e	mm	70.6
実効断面積	A _e	mm ²	73.6
実効体積	V _e	mm ³	5200
中脚断面積	A _{cp}	mm ²	70.9
最小中脚断面積	A _{cp min.}	mm ²	66.5
巻線断面積	A _{cw}	mm ²	145.2
質量 (組)	g		28

品名	AL-value (nH/N ²)	コアロス(W) at 100°C 100kHz, 200mT	設計例 (フォワードコンバータ方式)
PC47ETD29-Z	2500±25% (1kHz, 0.5mA)* 3540 min. (100kHz, 200mT)	1.75 max.	242W (100kHz)

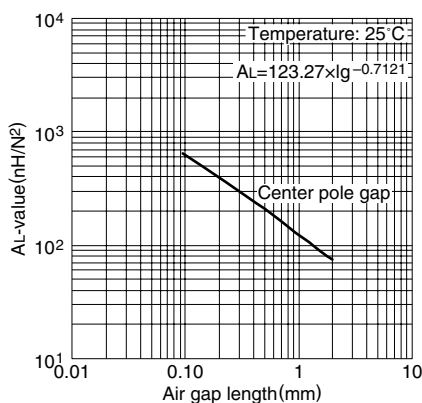
* コイル : ø0.35 2UEW 100Ts

NI limit vs. AL-value (代表例) PC47ETD29 コア (ギャップ付)



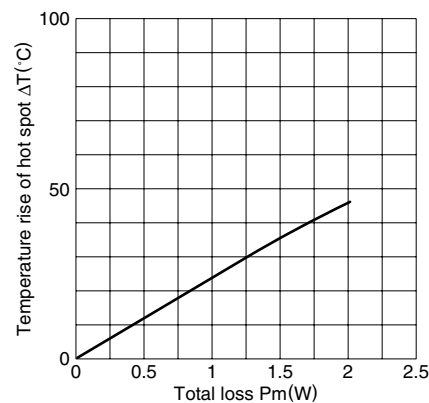
Note: このグラフに示されている限界線は、磁束に対する励磁電流の変化が直線である部分を延長し、それが20%および40%はずれた時の磁界の強さとAL-valueの関係を表わします。

AL-value vs. エアギャップ長 (代表例) PC47ETD29 コア

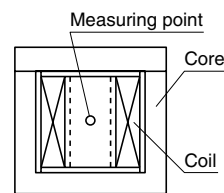


測定条件
 • コイル : ø0.35 2UEW 100Ts
 • 周波数 : 1kHz
 • 電流 : 0.5mA

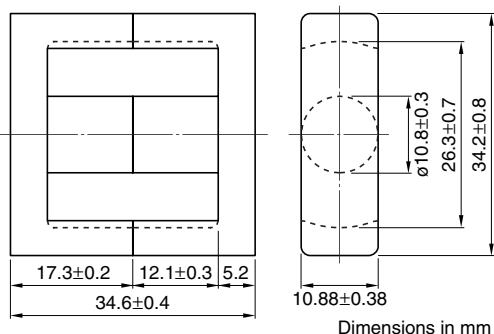
温度上昇 vs. トータルロス特性 (代表例) ETD29 コア



Note: 温度上昇データは、広さ約400x300x300cmの恒温恒湿(25°C, 45%RH.)の室内で測定しました。



ETDシリーズ ETD34 コア



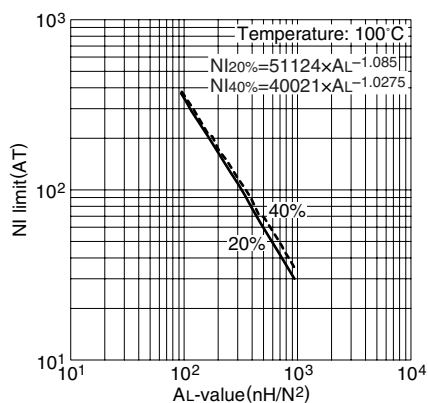
パラメータ

コア定数	C1	mm ⁻¹	0.810
実効磁路長	ℓ _e	mm	78.6
実効断面積	A _e	mm ²	97.1
実効体積	V _e	mm ³	7630
中脚断面積	A _{cp}	mm ²	91.6
最小中脚断面積	A _{cp min.}	mm ²	86.6
巻線断面積	A _{cw}	mm ²	188
質量 (組)		g	40

品名	AL-value (nH/N ²)	コアロス(W) at 100°C 100kHz, 200mT	設計例 (フォワードコンバータ方式)
PC47ETD34-Z	2780±25% (1kHz, 0.5mA)* 4190 min. (100kHz, 200mT)	2.52 max.	321W (100kHz)

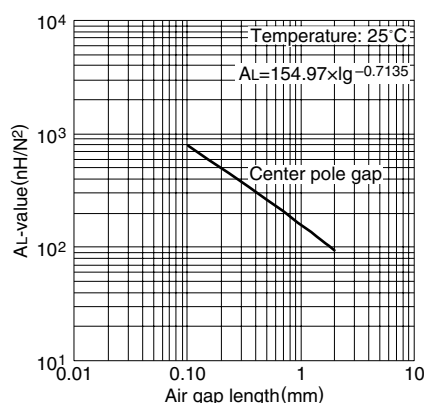
* コイル : ø0.35 2UEW 100Ts

NI limit vs. AL-value (代表例) PC47ETD34 コア (ギャップ付)



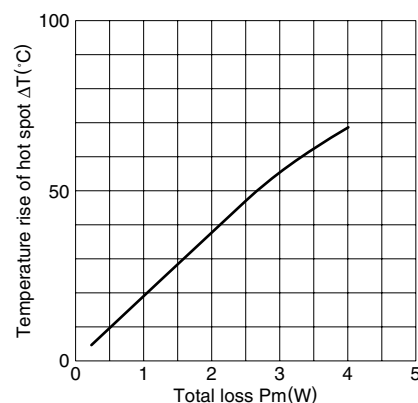
Note: このグラフに示されている限界線は、磁束に対する励磁電流の変化が直線である部分を延長し、それが20%および40%はずれた時の磁界の強さとAL-valueの関係を表わします。

AL-value vs. エアギャップ長 (代表例) PC47ETD34 コア

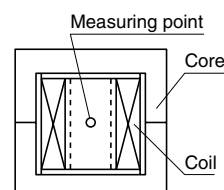


測定条件
 • コイル : ø0.35 2UEW 100Ts
 • 周波数 : 1kHz
 • 電流 : 0.5mA

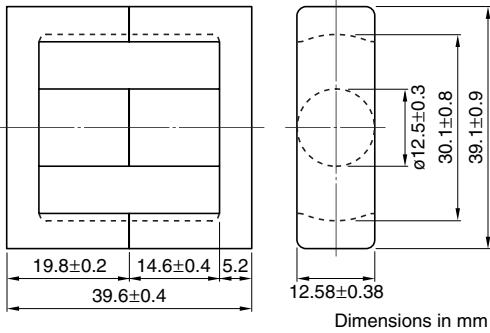
温度上昇 vs. トータルロス特性 (代表例) ETD34 コア



Note: 温度上昇データは、広さ約400x300x300cmの恒温恒湿(25°C、45(%RH))の室内で測定しました。



ETDシリーズ ETD39 コア



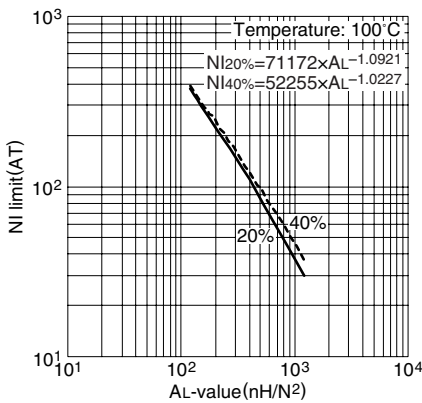
パラメータ

コア定数	C1	mm ⁻¹	0.737
実効磁路長	ℓ _e	mm	92.1
実効断面積	A _e	mm ²	125
実効体積	V _e	mm ³	11500
中脚断面積	A _{cp}	mm ²	123
最小中脚断面積	A _{cp min.}	mm ²	117
巻線断面積	A _{cw}	mm ²	257
質量 (組)	g		60

品名	AL-value (nH/N ²)	コアロス(W) at 100°C 100kHz, 200mT	設計例 (フォワードコンバータ方式)
PC47ETD39-Z	3150±25% (1kHz, 0.5mA)* 4600 min. (100kHz, 200mT)	3.96 max.	450W (100kHz)

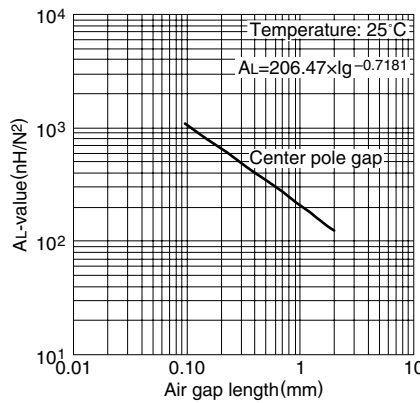
* コイル : ø0.35 2UEW 100Ts

NI limit vs. AL-value (代表例) PC47ETD39 コア (ギャップ付)



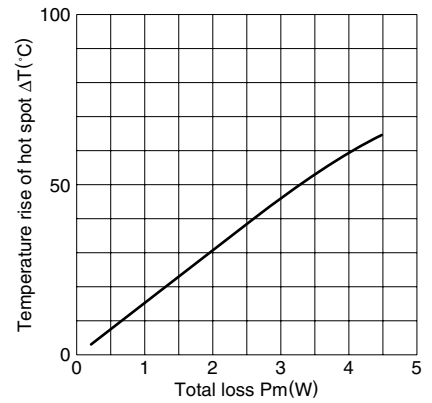
Note: このグラフに示されている限界線は、磁束に対する励磁電流の変化が直線である部分を延長し、それが20%および40%はずれた時の磁界の強さとAL-valueの関係を表わします。

AL-value vs. エアギャップ長 (代表例) PC47ETD39 コア

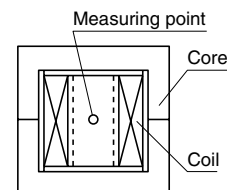


測定条件
 • コイル : ø0.35 2UEW 100Ts
 • 周波数 : 1kHz
 • 電流 : 0.5mA

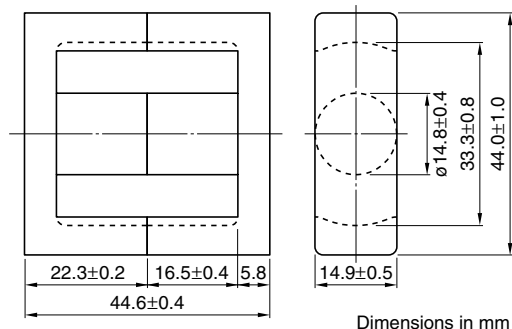
温度上昇 vs. トータルロス特性 (代表例) ETD39 コア



Note: 温度上昇データは、広さ約400x300x300cmの恒温恒湿(25°C、45%(%)RH.)の室内で測定しました。



ETDシリーズ ETD44 コア



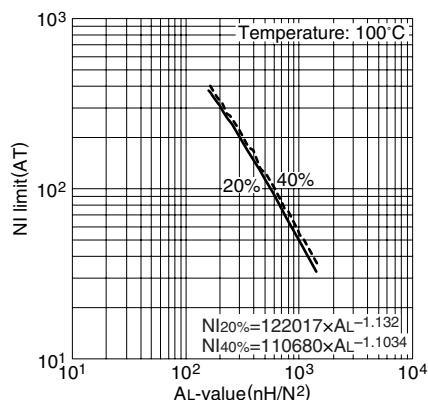
パラメータ

コア定数	C1	mm ⁻¹	0.589
実効磁路長	ℓ _e	mm	103
実効断面積	A _e	mm ²	175
実効体積	V _e	mm ³	18000
中脚断面積	A _{cp}	mm ²	172
最小中脚断面積	A _{cp min.}	mm ²	163
巻線断面積	A _{cw}	mm ²	305
質量 (組)	g		94

品名	AL-value (nH/N ²)	コアロス(W) at 100°C 100kHz, 200mT	設計例 (フォワードコンバータ方式)
PC47ETD44-Z	4000±25% (1kHz, 0.5mA)* 5760 min. (100kHz, 200mT)	6.2 max.	581W (100kHz)

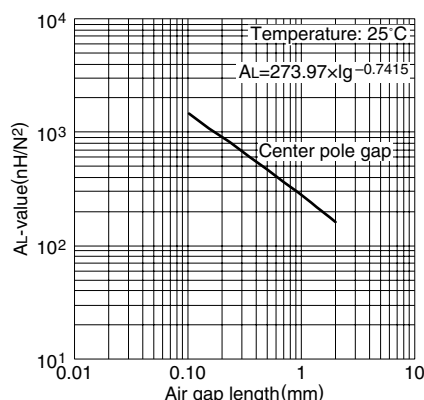
* コイル : ø0.35 2UEW 100Ts

NI limit vs. AL-value (代表例) PC47ETD44 コア (ギャップ付)



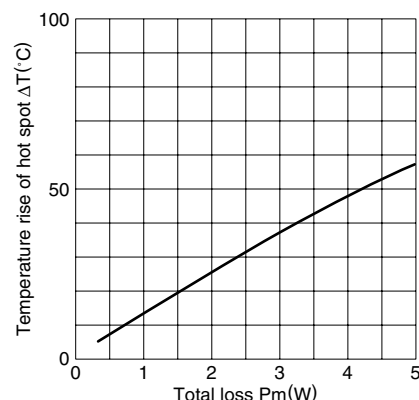
Note: このグラフに示されている限界線は、磁束に対する励磁電流の変化が直線である部分を延長し、それが20%および40%はずれた時の磁界の強さとAL-valueの関係を表わします。

AL-value vs. エアギャップ長 (代表例) PC47ETD44 コア

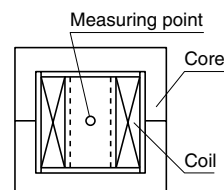


測定条件
 • コイル : ø0.35 2UEW 100Ts
 • 周波数 : 1kHz
 • 電流 : 0.5mA

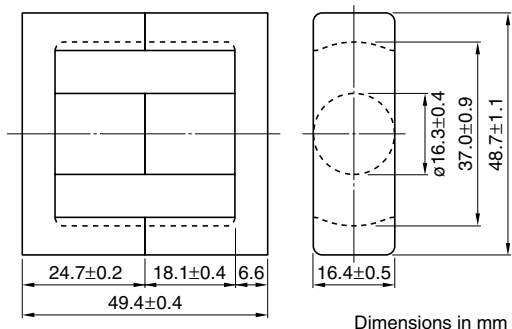
温度上昇 vs. トータルロス特性 (代表例) ETD44 コア



Note: 温度上昇データは、広さ約400x300x300cmの恒温恒湿(25°C, 45%(%)RH.)の室内で測定しました。



ETDシリーズ ETD49 コア



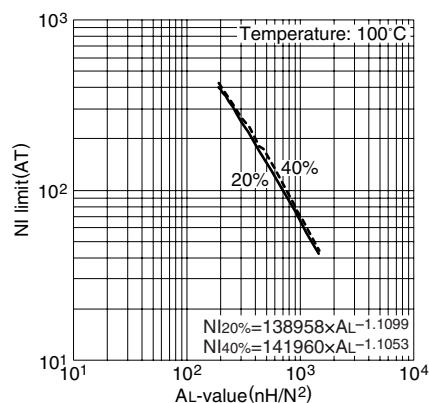
パラメータ

コア定数	C1	mm ⁻¹	0.535
実効磁路長	ℓ _e	mm	114
実効断面積	A _e	mm ²	213
実効体積	V _e	mm ³	24300
中脚断面積	A _{cp}	mm ²	209
最小中脚断面積	A _{cp min.}	mm ²	199
巻線断面積	A _{cw}	mm ²	375
質量 (組)	g		124

品名	AL-value (nH/N ²)	コアロス(W) at 100°C 100kHz, 200mT	設計例 (フォワードコンバータ方式)
PC47ETD49-Z	4440±25% (1kHz, 0.5mA)* 6340 min. (100kHz, 200mT)	10.25 max.	692W (100kHz)

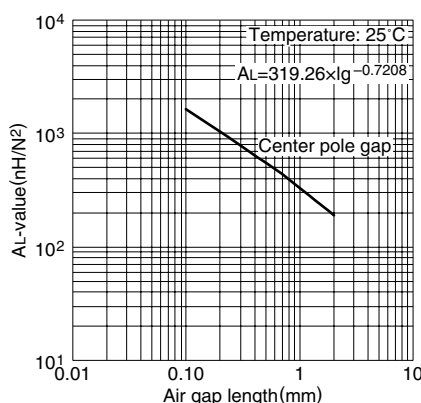
* コイル : ø0.35 2UEW 100Ts

NI limit vs. AL-value (代表例) PC47ETD49 コア (ギャップ付)



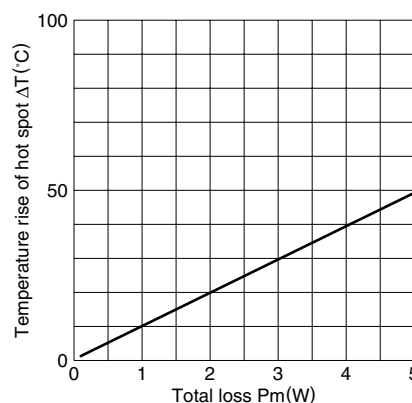
Note: このグラフに示されている限界線は、磁束に対する励磁電流の変化が直線である部分を延長し、それが20%および40%はずれた時の磁界の強さとAL-valueの関係を表わします。

AL-value vs. エアギャップ長 (代表例) PC47ETD49 コア



測定条件
 • コイル : ø0.35 2UEW 100Ts
 • 周波数 : 1kHz
 • 電流 : 0.5mA

温度上昇 vs. トータルロス特性 (代表例) ETD49 コア



Note: 温度上昇データは、広さ約400x300x300cmの恒温恒湿(25°C、45%RH.)の室内で測定しました。

